

TECHNIKA CIEPLNA

Czasopismo Stowarzyszenia Dozoru Kotłów w Warszawie.

Oficjalny Organ Polskiego Komitetu Normalizacyjnego dla Spraw Kotłowych.

Redaktor: Inż. techn. JAN KOMARNICKI.

Wydawca: Stowarzyszenie Dozoru Kotłów w Warszawie.

REDAKCJA i ADMINISTRACJA: Warszawa, Chmielna 2, m. 6. Tel. 275-45.

GODZINY BIUROWE: Redakcji—piątki, od 18 do 20, Administracji—codziennie, od 9 do 15.

TREŚĆ: Prof. Dr. W. Chrzanowski. Nowoczesne turbiny parowe. — R. Biedrzycki, inż. Badania odbiorcze turbiny parowej. — Prof. ten Bosch. Obliczenie koła zamachowego. — Prof. E. Hauswald. Naprężenia w kołach zamachowych. — Prof. M. T. Huber. Rozważania nad eksplozją koła. — Selikowski, inż. W sprawie eksplozji koła zamachowego. — W. Seeberger, inż. W sprawie eksplozji koła zamachowego. — Uroczystość wykonania 10000-go kotła.

SOMMAIRE: W. Chrzanowski, prof. dr. Les turbines à vapeur d'aujourd'hui. — R. Biedrzycki, ing. Les essais de garantie d'une turbine à vapeur. — ten Bosch, Le calcul du volant. — E. Hauswald, prof. Les tensions des volants. — M. T. Huber, prof. Réflexions sur une explosion du volant. — Selikowski, ing. Sur l'explosion d'un volant. — W. Seeberger, ing. Sur l'explosion d'un volant. — La 10000-me chaudière. — Errata.

Prof. Dr. inż. WIESŁAW CHRZANOWSKI

NOWOCZESNE TURBINY PAROWE.

(por. Technika Ciepłna, 1928, str. 81).

I. TURBINY KONDENSACYJNE.

A. Turbiny jednokadłubowe.

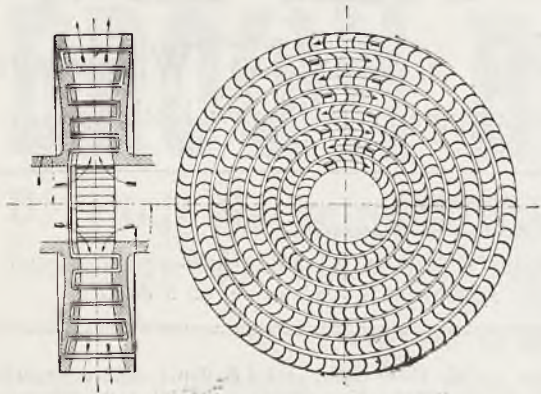
Jak poprzednio zaznaczyłem, buduje się obecnie jednokadłubowe osiowe turbiny parowe naogół przy $n=3000$ obr/min i ciśnieniu dolotowym aż do 22 atn i 350° C o mocy aż do około 12000 kW. Jedynie fabryka Zoelly'ego, budująca wielostopniowe osiowe turbiny akcyjne o małej liczbie stopni ciśnienia przy dużych średnicach wirników stosuje jednokadłubowe wykonanie przy $n=3000$ obr/min o mocy aż do 20000 kW, a przy $n=1500$ obr/min o mocy aż do 40000 kW i to przy ciśnieniu pary dolotowej aż do 35 atn i 400° C. Osobiście mam w tym względzie poważne wątpliwości, a to tem więcej, że dziesięciostopniowe jednokadłubowe osiowe turbiny kondensacyjne systemu akcyjnego o mocy 40000 kW przy $n=1500$ obr/min i przy ciśnieniu dolotowym 23 atn, 375° C zawiodły w ruchu także pod względem trwałości kadłuba, podlegającego przy dużej średnicy a niewielkiej długości bardzo znacznej różnicy temperatur. Co do poprzednio wspomnianej liczby obrotów 3000 na minutę, to zaznaczyć należy, że przy wyższym ciśnieniu pary dolotowej, a mocy niewielkiej (poniżej około

1000 kW) trzeba ze względu na uzyskanie nie zbyt niskich łopatek stosować większą liczbę obrotów turbiny i trzeba z konieczności umieścić przekładnię zębatą pomiędzy turbiną i generatorem elektrycznym. Jeśli przekładnia nie jest duża, a jest prawidłowo i starannie wykonana, to nie można mieć żadnych wątpliwości co do niezawodności ruchu takiego turbozespołu.

Jednokadłubowe turbiny promieniowe systemu Ljungstroem'a zostały już zbudowane dla ciśnienia dolotowego 28 atn, 450° C, a projektuje się je dla ciśnień do 50 atn. Turbiny Ljungstroem'a zdobywają coraz większe zastosowanie, choć dotychczas rynek zbytu, zwłaszcza przy wyższych ciśnieniach dolotowych opanowany jest prawie wyłącznie przez turbiny osiowe, wykonywane przeważnie jako turbiny kombinowane, akcyjno-reakcyjne. System wyłącznie reakcyjny i system wyłącznie akcyjny są w turbinach parowych obecnie rzadziej używane.

W osiowych turbinach jednokadłubowych system reakcyjny jest stosowany tylko przez fabrykę Parsons'a w Anglii, co można tłumaczyć sobie pewnym konserwatyzmem i używaniem niezbyt wysokiego ciśnienia pary dolotowej, skutkiem czego otrzymuje się już przy mocy około

5000 kW łopatki niezbyt krótkie. W turbinie promieniowej łopatki ułożone są równoległe do osi geometrycznej wału, a pierwszy wieniec



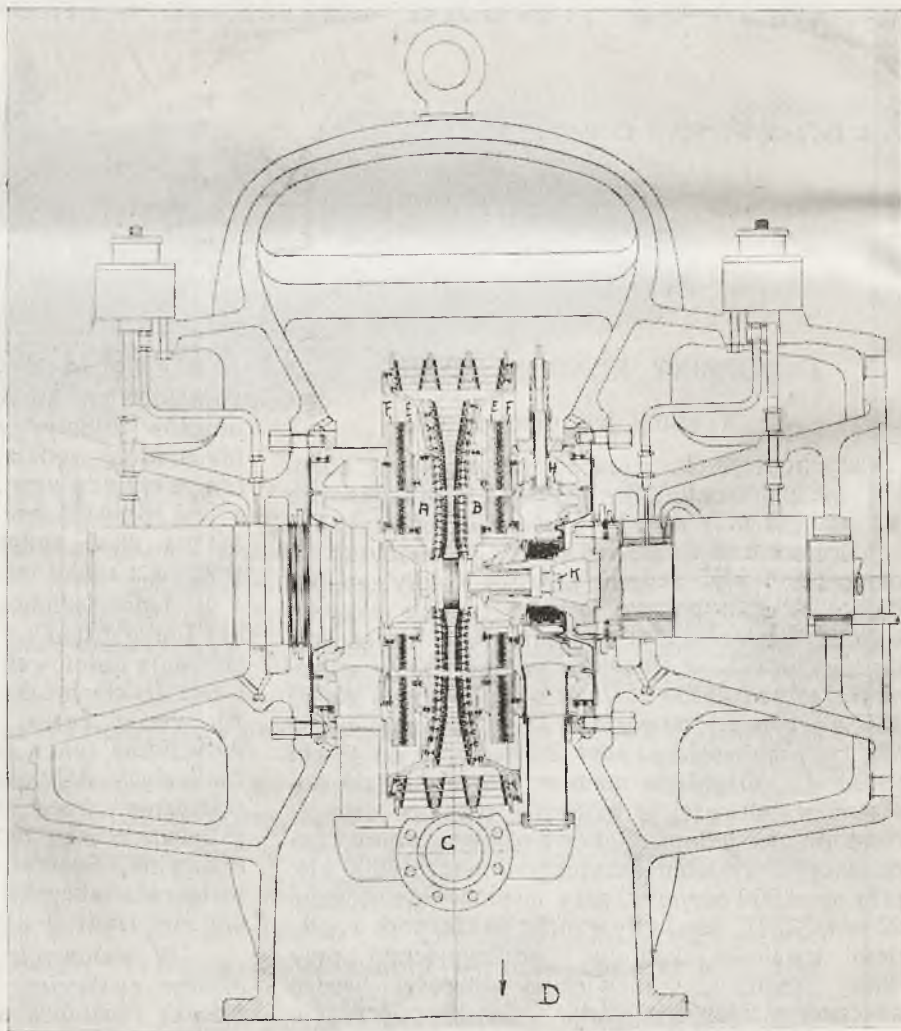
Rys. 17.

łopatkowy posiada małą średnicę, skutkiem czego nawet przy mniejszej mocy turbiny łopatka posiada dostateczną długość przy systemie reakcyjnym. Ostatni może być więc, nawet przy mniejszej mocy (ok. 700 kW) turbiny, zastosowany z powodzeniem w turbinach promieniowych.

Jedyną parową turbiną promieniową, która jako silnik o mocy średniej odgrywa na rynku zbytu poważną rolę, jest turbina Ljungstroem'a, pracująca z reakcją i z regulacją przez dławienie pary dolotowej. Przepływ pary w tej turbinie widzimy na rys. 17. Cechą jej charakterystyczną jest to, że *nie posiada żadnych kierownic*, tylko dwa wirniki, zaopatrzone w większą liczbę wieńców łopatkowych; — w ostatnich para rozpręża się stopniowo, nadając wirnikom ruch przeciwbieżny. Wirniki te *A* i *B* (rys. 18) osadzone są na końcach dwóch wałów, skutkiem czego turbozespół musi posiadać dwa generatory elektryczne. Parę świeżą doprowadza się do pierwszego wieńca łopatkowego o najmniejszej średnicy rurą *C*, rozdzielającą się w kilka rur, a przechodzącą przez przestrzeń wylotową; — para wylotowa płynie rurą *D* do kondensatora. Wynika z tego, że uszczelnienia grzebieniaste, znajdujące się pomiędzy

wirującymi razem z wirnikami tarczami *E* i nieruchomymi tarczami *F* muszą uszczelniać pomiędzy ciśnieniem pary dolotowej i próżnią. Co do rys. 18 to nadmienić można jeszcze, że *H* oznacza zawór służący do przeciążenia turbiny, a *K* jest korkiem, dzięki któremu czop, na którym osadzony jest wirnik, ogrzewany jest tylko na długości piasty wirnika.

Całość instalacji turbozespołu Ljungstroem'a widzimy na rys. 19, w którym oznacza: 8—turbina, 2—generatory elektryczne, 11—kondensator powierzchniowy, na którym spoczywa turbozespół, 14—pompe do wody chłodzącej, 18—pompe do kondensatu, 35 — ejektory do odciągania powietrza rurą 16 z kondensatora, do których doprowadza się parę świeżą rurkami 38 i 39, a z których odpływa ona do kondensatora, 3—główny zawór rozruchowy i bezpieczeństwa, 4—samoczynny zawór regulacyjny, 29 — zawór (z uszczelnieniem wodnym) dla pracy z wydmuchem. Z rysunku tego widzimy, że turbina zabiera mało miejsca, natomiast cała długość turbozespołu



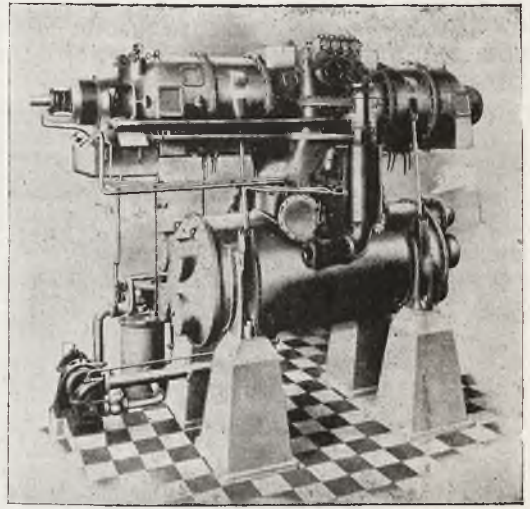
Rys. 18. Turbina Ljungstroem'a o mocy 1700 kW, przy $n = 3000 \text{ obr/mtn}$, $p_1 = 13 \text{ atn}$, 350°C , $p_2 = 0,05 \text{ ata}$.

jest większa niż turbozespołów osiowych z powodu konieczności stosowania dwóch generatorów elektrycznych. Ponieważ cały turbozespół spoczywa na kondensatorze, a tenże na fundamencie (rys. 20), przeto ostatni jest bardzo prosty, tak że turbozespół tego rodzaju może być łatwiej przenoszony z jednego miejsca na drugie niż turbozespół z osiowym przepływem pary.

Przy mocy większej od około 3000 kW przy $n=3000 \text{ obr/min}$ nie można ze względów wytrzymałościowych stosować ostatnich wieńców łopatkowych o układzie promieniowym, a celem uzyskania krótszych łopatek używa się w ostatnich osiowych wieńcach (rys. 21) dwukierunkowego przepływu pary. Na rys. 21 oznacza:

3 — rurę dla dopływu pary świeżej, rozdzielającą się w rurze wylotowej 2 na kilka rur 4, 5 — zawór do przeciążenia turbiny (największa moc stała 6250 kW), 7 — osiowe łopatki kierownicze, przytwierdzone do kadłuba turbiny, 8 — osiowe łopatki wirnikowe systemu reakcyjnego, 10 i 11 — rurki służące do odprowadzania pary z dławnic, 17 — generatory elektryczne. Wirnik 9 składa się z kilku części, połączonych ze sobą zapomocą sworzni stożkowych. Umocowanie łopatek w wirniku uwidocznione jest na rys. 22. Łopátka 11, tworząca jedną całość z ogonami jaskółczymi 10, połączona jest zapomocą zawałcowania ze wzmacniającymi pierścieniami cylindrycznymi 9, a jeden z tychże zapomocą pierścienia cylindrycznego 4

całość budowy jest tego rodzaju, że daje dużą elastyczność przy nierównym wydłużaniu się poszczególnych części.



Rys. 20.

Uchodzeniu pary pomiędzy dwoma wieńcami wirnikowymi zapobiega ostre pierścieniowe obrzeże 7, które jest przytwierdzone do pierścienia 9 przez zabicie pierścieniem 8.

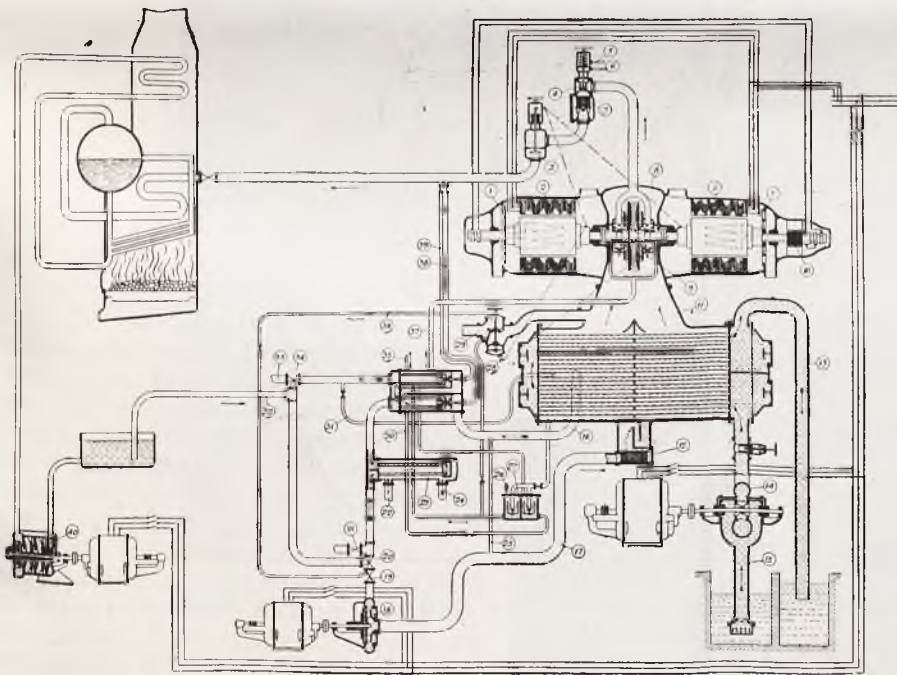
Przy jeszcze większej mocy stosuje Ljungstroem, jak to widzimy na rys. 23, dwa reakcyjne

osiowe stopnie ciśnienia o przeciwnym przepływie pary.

Zewnętrzny widok turbiny Ljungstroem'a przedstawia rys. 24.

Turbiny Ljungstroem'a o mocy mniejszej, pracujące przy ciśnieniu dołotowym 16 atn, 350° C wykazały także u nas w Polsce dobre wyniki w ruchu pod względem zużycia pary i niezawodności ruchu, natomiast zagranicą zostały już uruchomione dla wyższych ciśnień (aż do 28 atn) i wyższych temperatur (aż do 450° C). Jeśli ostatnie dadzą w pracy kilkoletniej wyniki zadawalniające w szczególności pod względem niezawodności biegu, to spodziewać się należy, że *rozpowszechnienie tego na genialnym pomysłe zbudowanego silnika znacznie*

wzrośnie. Nie ulega jednak wątpliwości, że przy wysokim ciśnieniu pary dołotowej duże trudności sprawia uszczelnienie pomiędzy tem ciśnieniem i próżnią (patrz rys. 18 uszczelnienie pomiędzy tarczami E i F), a przede wszystkim także opa-



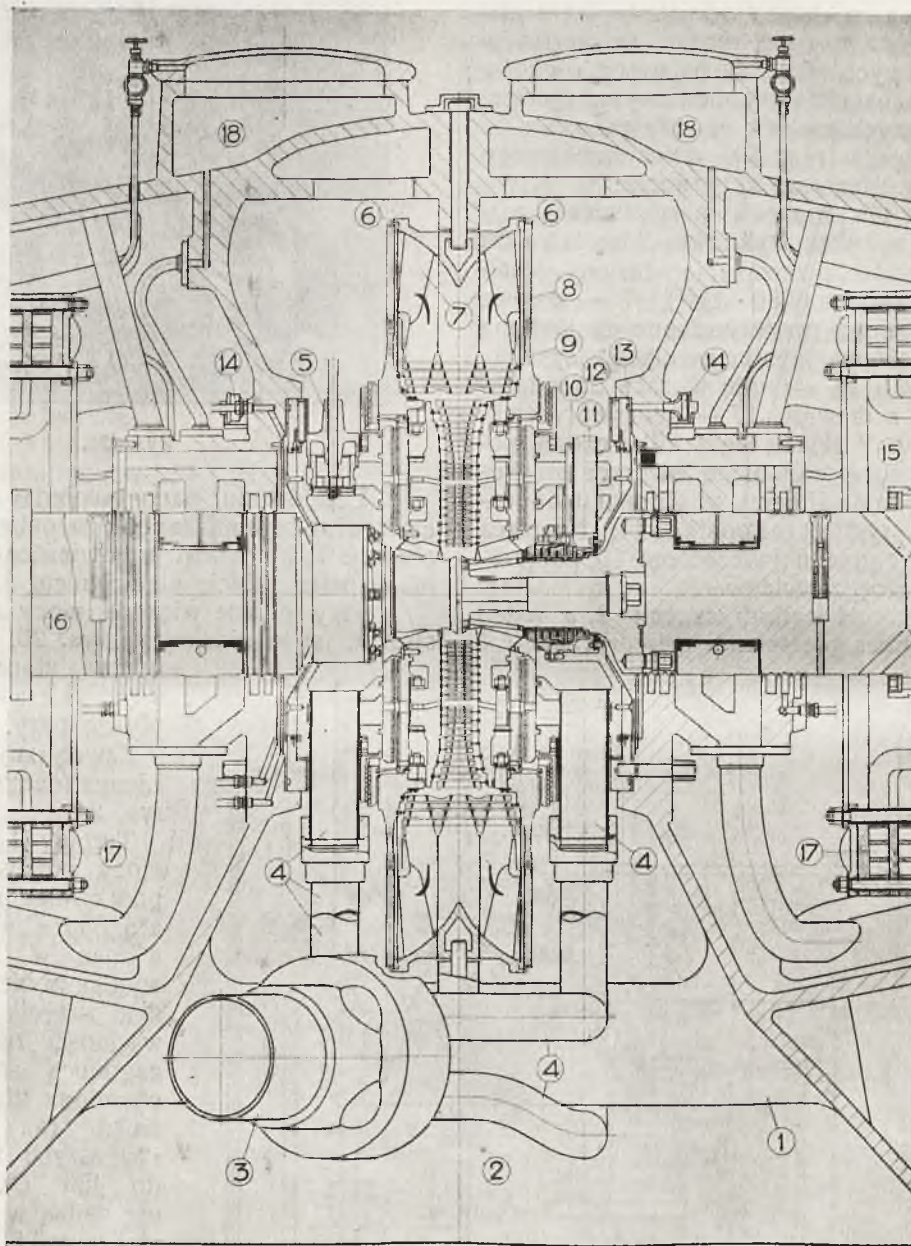
Rys. 19.

z pierścieniem 2, połączonym przez zabicie drutem 3 z wirnikiem 1. Wymiana wieńców łopatkowych jest więc bardzo prosta. Pierścień 4 jest cienki, a połączony jest z pierścieniami 2 i 9 zapomocą zawałcowania, skutkiem czego

nowanie wody w wilgotnej parze części nisko-prężnej.

Uszczelnienie pomiędzy tarczami *E* i *F* wykonane jest podług rys. 25 zapomocą uszczelnienia grzebieniastego. Blaszane tarcze ze stali niklowej tego uszczelnienia są zabite drutem, w tarczach *E* i *F*, posiadają grubość 0,12 do 0,2 mm,

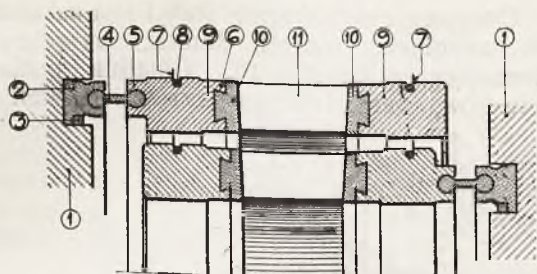
nienie wskazane na rys. 25 jest tego rodzaju, że nie potrzeba stosować łoża sztorcowego. Osiowe przesunięcie tarczy wirującej wpływa bowiem odmiennie na zmianę wielkości szczeliny w dwóch grupach uszczelnienia grzebieniastego. Mianowicie przesunięcie tarczy w jednym kierunku zwiększa szczeliny w grupie zewnętrznej,



Rys. 21. Turbina Ljungstroem'a o mocy 5000 kW, $n = 3000 \text{ obr/min}$, $p_1 = 19 \text{ atn}$, 375°C , $p_2 = 0,06 \text{ ata}$.

a końce ich są ostro ścięte. Zatarcie się uszczelnienia nie jest niebezpieczne, bo masa blachy jest bardzo mała. Ponieważ tarcze *E* i *F* są z wirnikami względnie kadłubem turbiny połączone zapomocą pierścieni cienkich sposobem nawalcowania, przeto całość tego szczegółu konstrukcyjnego posiada dużą elastyczność. Uszczel-

lec nie zmienia ich w grupie wewnętrznej, natomiast przesunięcie tarczy w drugim kierunku zwiększa szczeliny tylko w wewnętrznej grupie. Dzięki temu zmienia się nacisk pary na tarczę w ten sposób, że tarcza ruchoma wraz z wirnikiem ustawia się częściowo samoczynnie w położenie właściwe, przy którym nacisk pary na



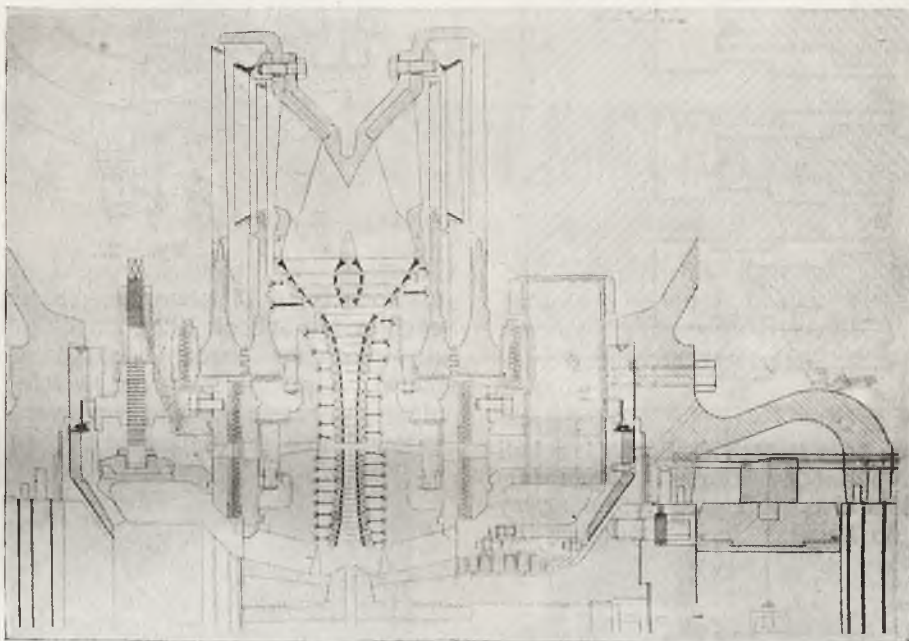
Rys. 22.

tarczę ruchomą równa się w zupełności naciskowi osiowemu pary, przepływającej przez wieniec łopatkowy wirnika.

wewnętrzne *H* przytwierdzone klinem do wału turbiny, a zewnętrzne *F* klinem do kadłuba. Układ powyższy umożliwia zastosowanie wielkiej liczby grzebień w małej przestrzeni, a wielka liczba grzebień zapewnia szczelność dławnicy.

Odprowadzanie pary z dławnicy odbywa się rurami *A*, *B* i *C*, — częściowo do dalszych stopni ciśnienia, częściowo do podgrzewacza wody zasilającej kotły.

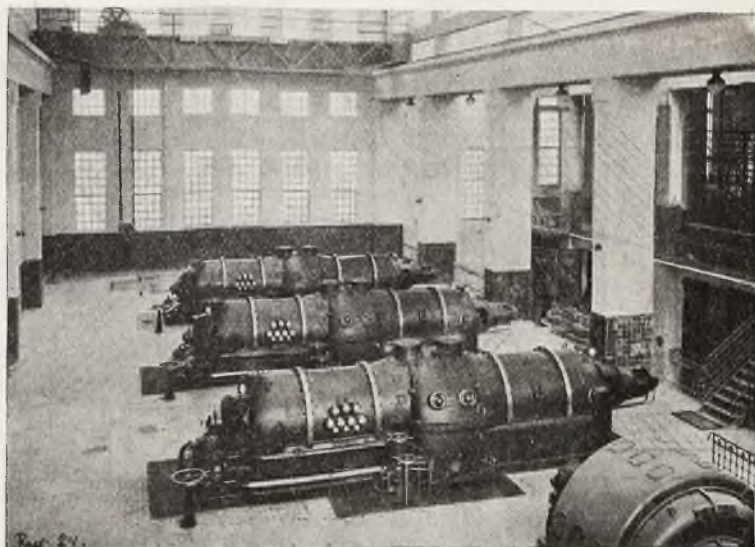
Jak z rys. 26 i poprzednich widać, właściwe krótkie wały turbiny są przewiercone i posiadają niewielką grubość ścianek, tak że przenikanie ciepła z turbiny do generatorów jest stosunkowo niewielkie, zwłaszcza że czoł łożyska jest dobrze chłodzony przepływającym smarem. Budowa



Rys. 23. Kondensacyjna turbina Ljungstroem'a o mocy norm. 12000 kW, stałej mocy maks. 14000 kW, 25 atm 450° C, $n = 3000$ obr/min.

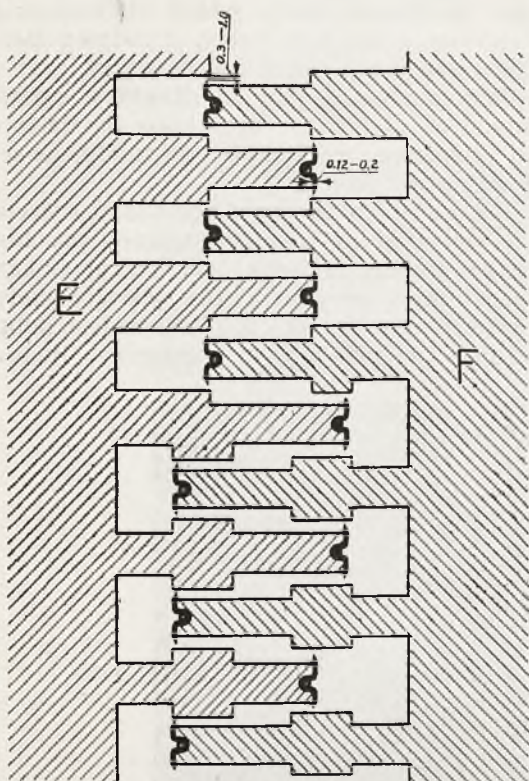
Co do zagadnienia opanowania wilgotności pary w części niskoprężnej turbiny, to firma Ljungstroem twierdzi, że w turbinach promieniowych krople wody rozdzielają się równomiernie i skutkiem tego musi następować równomierne zdzieranie łopatek na całej długości, oraz zaznacza, że w turbinach powyżej 3000 kW można przy przejściu z promieniowej turbiny w osiową jej część skutecznie odwołać silnik. Z powyższego wynika, że wytwórnia zamierza poruszonemu zagadnieniu poświęcić przy wyższych ciśnieniach pary szczególną uwagę.

Bardzo ciekawa jest budowa dławnicy w turbinie Ljungstroem'a. Dławnica składa się z szeregu tarcz z grzebieńiami pierścieniowymi z ostrym zakończeniem pod kątem 45° (rys. 26). Tarcze ułożone są osiowo obok siebie,



Rys. 24.

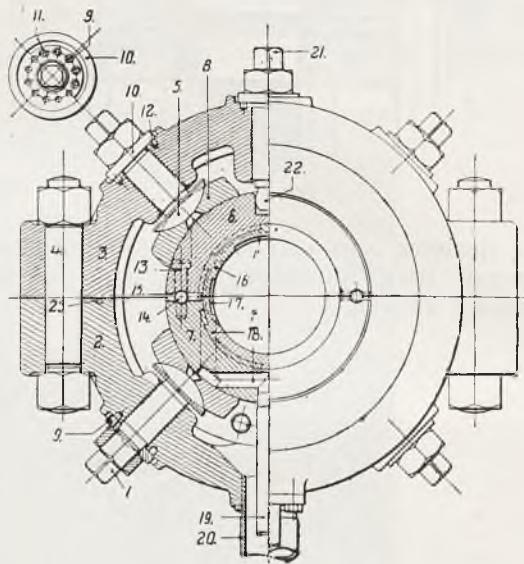
łożyska (rys. 27) jest również pomysłowa. Panwie łożyska 6 i 7, wyłożone białym meta-



Rys. 25.

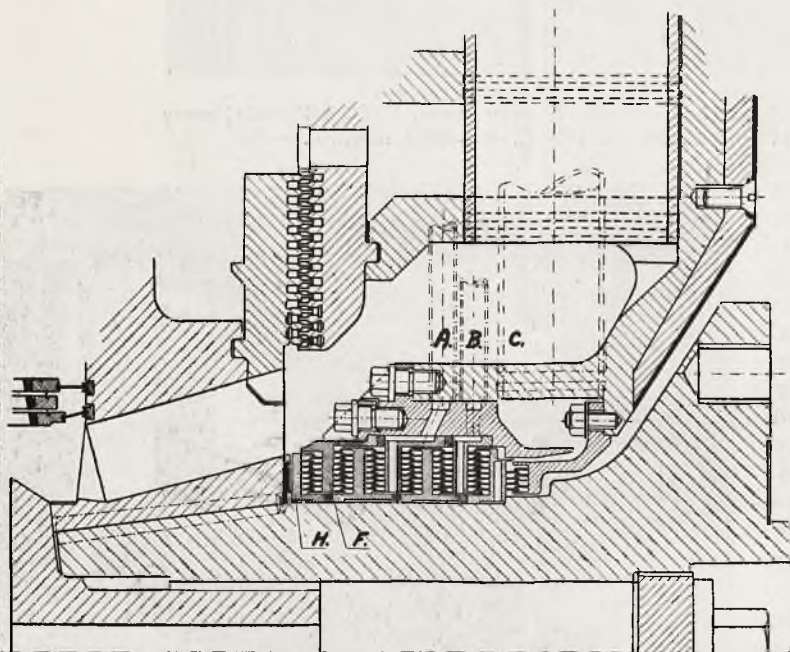
lem, spoczywają na czterech śrubach 1 z kuli-
stemi łbami 5, pomiędzy którymi a panwiami
znajdują się dokładki 8. Pokrywa łożyska przy-
twierdzona jest do korpusu jego zapomocą do-

Ubezpieczenie nakrętek śrub 1 jest uskutecz-
nione zapomocą małych śrubek, wkręconych
w hamujące podkładki 10. Ostatnia posiada
12 otworów, natomiast przylegająca powierzch-



Rys. 27.

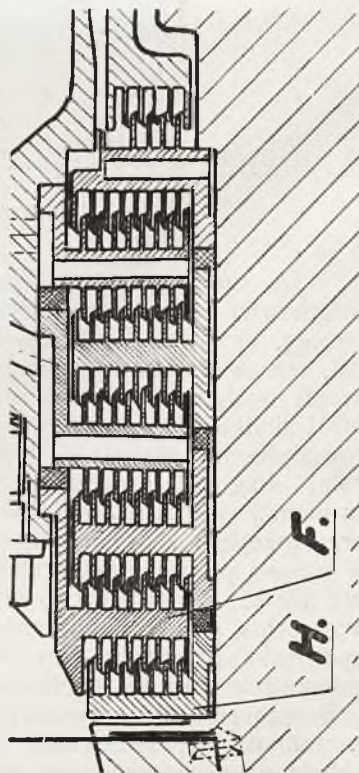
nia łoża tylko 11 otworów. Skutkiem otrzyma-
nych w ten sposób 132 różnych położeń uzyskuje
się możliwość bardzo dokładnego nastawienia
panwi. Ostatnie musi oczywiście być uskutecz-
nione w czasie montażu w warsztacie, a wyre-
gulowywanie późniejsze jest zbędne. Okręcaniu



Rys. 26.

pasowanych (lekko stożkowych) śrub 4, a panwie
ze sobą połączone śrubami 13 i ustalone koł-
kami dopasowanymi 14 i 15.

się panwi zapobiega sworzeń kulisty 22, którego
kula toczona jest mimośrodowo względem osi
śruby 21, skutkiem czego można przez okręcanie



Rys 26a.

śruby 21, ubezpieczonej w ten sam sposób jak śruby 1, przesunąć trochę panwie współosiowo do wału. Smar pod ciśnieniem dopływa rurą 19 i otworami 18, a liczba 17 oznacza podłużne wpustki oliwne. Odptyw smaru do chłodnicy następuje rurą 20. Ze względu na bliskość generatora trzeba tutaj zwrócić szczególną uwagę na uniemożliwienie przedostawania się smaru z łożyska wzdłuż wału.

Z rysunków przedstawionych wynika, że turbina Ljungstroem'a jest nie tylko pomysłem co do samego zasadniczego układu wirników, lecz także co do różnych szczegółów konstrukcyjnych. Z powodu braku kierownic odpadają straty w kierownicach i koszty ich

budowy, a osiągnięcie dużej liczby jakościowej Parsons'a nie jest zbyt kosztowne z powodu dwóch przeciwbieżnych wirników. Sprawność turbiny może więc być korzystna, zapotrzebowanie materiałów na nią jest mniejsze niż w turbinach osiowych, lecz wykonanie wymaga znacznie większej precyzyjności.

Rozpowszechnieniu większemu turbin Ljungstroem'a szkodzi natomiast, oprócz poprzednio wspomnianych wątpliwości, zapatrywanie niektórych inżynierów, że turbina osiowa jest prostsza w swej budowie od promieniowej, skutkiem czego w razie jakichkolwiek niedomagań może być łatwiej skontrolowana przez mechanika miejscowego. (d. c. n.)

R. BIEDRZYCKI, inż.

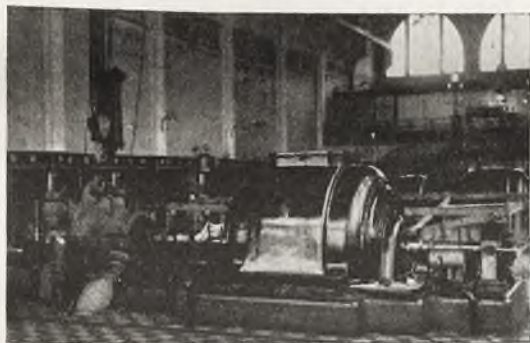
BADANIA ODBIORCZE TURBINY PAROWEJ w ZJEDN. ZAKŁ. PRZEM. K. SCHEIBLERA i L. GROHMANA w ŁODZI.

przeprowadzone w dn. 17 lutego 1928 r.

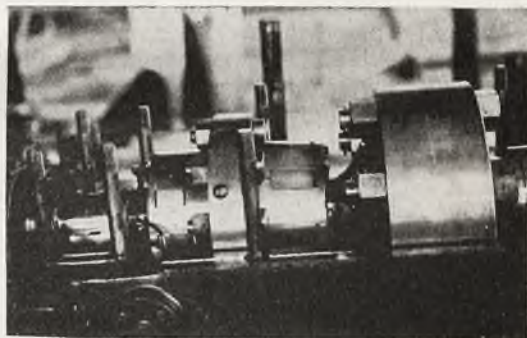
W zakładach K. Scheiblera i L. Grohmana w Łodzi ustawiono w r. 1926 nową turbinę przeciwpnętną o mocy 1960 KM, budowy Pierwszej Brzeńskiej Fabryki, którą sprzężono z przed-

co nastąpić ma kosztem usunięcia następnej turbiny kondensacyjnej i zastąpieniem jej nową turbiną z pobieraniem pary.

Dzięki tej inwestycji elektrownia wytwarzać



Rys 1.



Rys 3.

wojennym generatorem prądu trójfazowego, zwolnionym po dawniejszej turbinie przeciwpnętną, zdyskwalifikowanej na skutek nadmiernego zużycia pary. Zużycie to wzrosło zwłaszcza niewspół-

będzie dwakroć więcej energii elektrycznej, niż dotychczas, naturalnie bez powiększenia kotłowni i jedynie dzięki temu, iż całkowita ilość pary przeznaczonej dla celów grzejnych, zostanie



Rys 2.

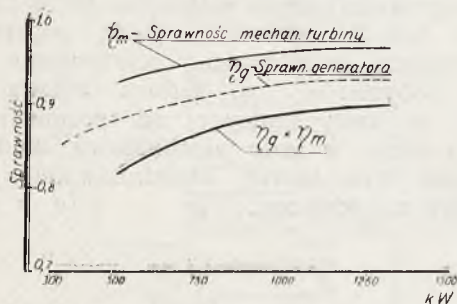
miennie po rewindykacji turbiny z Niemiec, dokąd wywieźli ją okupanci podczas wojny.

Zmiana turbiny na nową pozostaje w związku z projektem elektryfikacji sąsiedniego oddziału,

uprzednio wyzyskana w turbinach. Jakkolwiek razić może, iż usunięto jedynie turbinę, pozostawiając stary generator o napięciu 525 V, podkreślić trzeba, iż cała przebudowa nastąpiła

po dłuższych i szczegółowych badaniach, na których oparto kalkulację rentowności nowej instalacji.

Niższa sprawność starego generatora, jakoteż sprawność samego zespołu, obniżona nieco skutkiem zastosowania gorszej termicznie turbiny jednoosłonowej, nie odgrywa tu większej roli, teoretyczna bowiem przewaga turbiny dwuosł-



Rys 4.

nowej z nowym generatorem nie dawała logicznej podstawy dla inwestycji wymagającej znacznego i drogiego kapitału obrotowego.

Koszty sfinansowania zupełnie nowego zespołu pochłonęłyby z naddaniem wszelkie przewidywane korzyści.

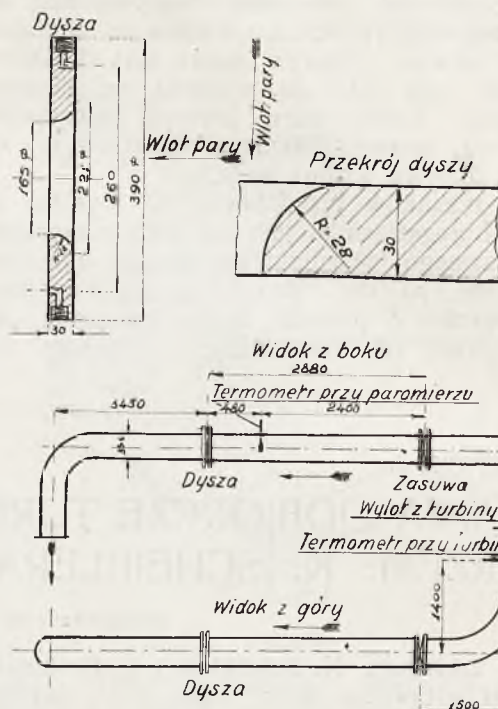
Opis generatora.

Prąd trójfazowy 1550 kVA, $\cos \varphi = 0,8$, 525 V, 3×1710 A, $n = 3000$ obr./min.

Rys. 1 przedstawia ogólny widok turbiny, przekrój zaś jej przedstawiony jest na rys. 2.

Turbina składa się z ośmiu wirników. Regulacja turbiny, kombinowana, odbywa się zapomocą 2-ch automatów, przyczem dławienie

Temperatura pary dolotowej 350°C
Ciśnienie pary wylotowej 3 atn

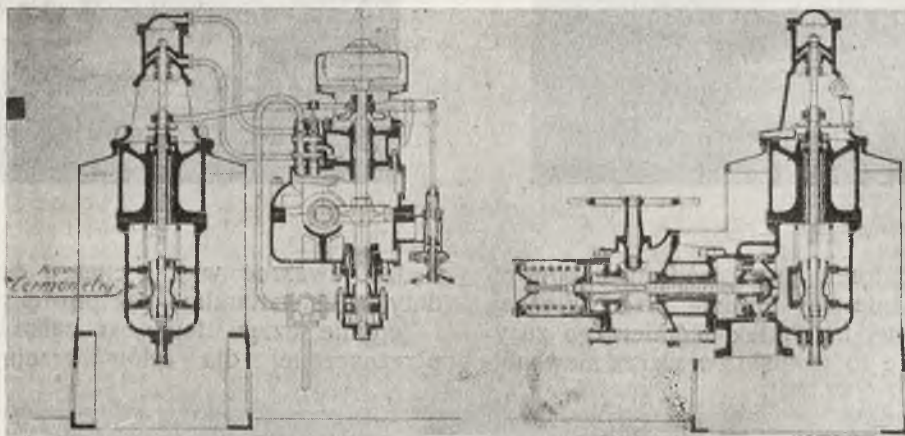


Rys 6—7.

Zużycie pary na kWh

Obciążenie $1/1$	16,5 kg
$3/4$	18,2 kg
$1/2$	21,6 kg

Granice tolerancji 3%



Rys 5.

pary odbywa się do $3/4$ obciążenia (por. krzywą dławienia, rys. 8).

Pomiędzy turbiną a generatorem znajduje się sprzęgło elastyczne, przedstawione na rys. 3. Sprawność generatora przyjęta została według krzywej podanej na rys. 4.

Gwarancje dostawcy turbiny opiewały jak następuje:

Ciśnienie pary dolotowej 14,5 atn

Turbina daje możliwość regulowania przeciwcisnienia w granicach od 2,1 atn do 4,1 atn.

Dostawca zastrzegł sobie sposób sprawdzania zużycia pary, a mianowicie: zużycie miało być mierzone dwoma sposobami: (rys. 8)

1) bezpośrednio, zapomocą paromierza, znajdującego się na rurze wylotowej.

2) zapomocą mierzenia ciśnienia i temperatury pary dolotowej pierwszego stopnia ciśnienia

za zaworem regulacyjnym, oraz przy wylocie z turbiny. Na tej podstawie miał być obliczony spadek wartości cieplnej pary i zużycie pary na kWh .

Za miarodajną miała być wzięta liczba wyśredkowana z obu pomiarów.

Pomiary odbiorcze przeprowadziło Łódzkie Biuro Okręgowe Stow. Dozoru Kotłów w Warszawie w dn. 17 lutego 1928 r. łącznie z przedstawicielami firmy, która dostarczyła turbinę i z inżynierami ruchu Zjedn. Zakładów K. Scheiblera i L. Grohmana.

Podczas pomiarów ustawione zostały sprawdzone termometry¹⁾: u wylotu turbiny i w tulejce przygotowanej przez dostawcę za głównym zaworem parowym, przed dyszami (rys. 5).

Ostatni ten pomiar dawał temperaturę pary już zdławionej.

Ciśnienie pary dolotowej mierzone było dwoma sprawdzonymi manometrami²⁾, ustawionymi przed i za zaworem regulacyjnym.

Ciśnienie pary wylotowej mierzone było zapomocą manometru u wylotu pary z kadłuba turbiny. Na rurze wylotowej (rys. 6 i 7) umieszczona była pomiędzy krzywami dysza o profilu wg. rys. 6 przed nią zaś w odstępnie 480 mm ustawiony był termometr.

Dysza połączona była zapomocą otworów wskazanych na rys. 6 z rtęciowym manometrem różnicowym, przyczem zużycie pary określane było według wzoru *Bendemana*.

$$G = 44,62 F \sqrt{(0,91 p - \Delta p) \frac{\Delta p}{pv}} \text{ gr/sek}$$

¹⁾ Termometr na parę przegrzaną, *Thüringisches Landesamt für Mass und Gewicht*, z dn. 17/VIII. 1926, Nr. 68247/26, pozostałe termometry sprawdzono w Biurze Okręgowym Stowarzyszenia w Łodzi wg. poprzedniego termometru.

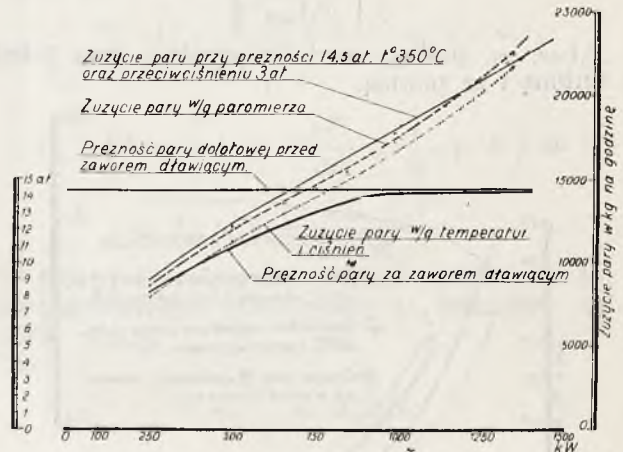
²⁾ Manometry kontrolne firmy *Schäffer i Budenberg* Nr. 6247677, 6247678 i 624751, sprawdzone na prasie obciążanej wagowo w Biurze Okręgowym Stowarzyszenia w Łodzi.

W powyższym wzorze Δp oznacza różnicę ciśnienia według manometru rtęciowego.

v — objętość jednego kg pary o ciśnieniu „ p ” i temperaturze, wykazywanych przez manometr i termometr przed dyszą.

F — przekrój dyszy w cm^2 .

Obciążenie mierzone było zapomocą dwóch precyzyjnych watomierzy³⁾ Stow. Doz. Kotłów, oraz watomierzy dostawcy. Za podstawę przyjęto wskazania precyzyjnych instrumentów. (Instrumenty dostawcy przy pełnym obciążeniu wykazy-



Rys. 8.

wały różnicę 1,4%, przy mniejszych zaś obciążeniach, obliczenia dokonywane podczas próby przez dostawcę, były jednakowe).

Przed przystąpieniem do próby ustalono sposoby przeliczania otrzymanych liczb. Przyjęto mianowicie sprawność mechaniczną turbiny (części parowej), według załączonej krzywej (rys. 4).

³⁾ Watomierze Firmy *Siemens Halske* Nr. 2263568 i 2293069 zaopatrzone w odpowiednie zaświadczenia.

Rezultaty prób odbiorczych turbiny parowej Pierwszej Brzeńskiej Fabryki, 1960 KM, 3000 obr/min, $p_1 = 14,5 \text{ atn}$, $p_2 = 3 \text{ atn}$, 350° C wykonanych w dn. 17.II. 1928 roku.

O b c i ą ż e n i e kW	Jałowe	500	652	849	990	1006	1032	1135	1342	1381
Cos φ	—	0,84	0,84	0,76	0,84	0,79	0,78	0,8	0,85	0,81
Ciśnienie pary dolotowej przed zaworem głównym w atn.	14,09	14,42	14,35	14,24	14,48	14,52	14,03	14,43	14,35	14,08
Ciśnienie pary dolotowej przed dyszami w atn.	4,75	11,7	12,3	13,57	14,42	14,47	13,95	14,3	14,31	14
Temperat. pary dolotowej przed dyszami w °C	335,4	345,8	330,8	338,8	337,6	338,2	343,0	339,0	337,5	353,8
Ciśnienie pary w rurze wylotowej w atn.	3,3	3,7	3,78	3,47	3,66	3,33	3,8	3,63	3,72	3,41
Temperatura pary w rurze wylotowej w °C	269,9	253,1	230,8	227,8	225,8	220,0	233,0	222,1	221,8	230,4
Zużycie pary na kWh w warunkach prób										
a) podług paromierza w kg.		27,03	24,15	20,5	20,19	19,35	20,43	19,5	19	18
b) podług temperatur i ciśnien w kg.		26,81	23,2	20	19,51	18,55	19,95	18,45	18,3	17,19
Poprawki		0,878	0,834	0,905	0,888	0,937	0,846	0,878	0,885	0,956
Zużycie pary przeliczone na warunki gwarantacyjne										
a) według paromierza w kg.		23,78	20,1	18,15	17,9	18,12	17,32	17,12	16,8	17,21
b) według temperatur i ciśnien w kg.		23,58	19,33	18,1	17,34	17,39	16,89	16,2	16,2	16,42
Sprawność termodynamiczna turbiny		0,576	0,672	0,703	0,718	0,71	0,735	0,759	0,759	0,742

Sprawność generatora przyjęto, jak wyżej wskazano (nie biorąc pod uwagę wpływu zmian wielkości $\cos \varphi$).

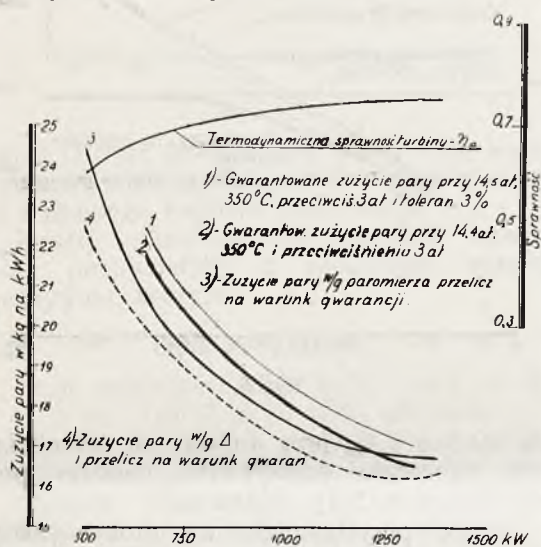
Dla przeliczeń podług ciśnień i temperatur przyjęto wzór

$$G = \frac{860}{\eta_{gen} \cdot \eta_{turb.} \cdot \Delta i_{ad. zm} \cdot \eta_i}$$

gdzie η_i określono tak, jak wskazano w gwarancjach.

$$\left[\frac{i_1 - i_2}{\Delta i_{ad}} \right]$$

$\Delta i_{ad. zm.}$ podług wartości cieplnej pary przed turbiną i za turbiną.



Rys 9.

Przeliczenie liczb otrzymanych z paromierza, oraz na podstawie temperatur i ciśnień na warunki

gwarancyjne przeprowadzono zapomocą wzoru:

$$G = G_{zm} \cdot \frac{\Delta i_{ad. zm.}}{\Delta i_{ad. gw}}$$

gozie $\Delta i_{ad. gw}$ przyjęto 78 cal.

Pomiary zgodnie z normami przeprowadzone były zapomocą szeregu kolejnych odczytów, przy czym obciążenie badanej turbiny podczas każdej serii tych odczytów, utrzymywane było na stałej wysokości dzięki przerzucaniu części obciążenia na sąsiednią turbinę kondensacyjną, pracującą równolegle z badaną dla napędu fabryki.

Rezultaty pomiarów odbiorczych przedstawione są w załączonej tablicy.

Na rys. 9 przedstawione są krzywe:

Gwarantowanego zużycia, zużycia otrzymanego według paromierza, oraz zużycia według temperatur i ciśnień (obie ostatnie krzywe przeliczone, są na warunki podane w gwarancjach).

Przyjmując sposoby pomiarów i przeliczeń wykazanych w gwarancjach dostawcy należy uznać, że liczby otrzymane przy próbach odpowiadają gwarancjom podanym w ofercie, nawet bez stosowania zastrzeżonych tolerancji*).

*) W sprawie pow. badań odbiorczych otrzymujemy od Biura Warszawskiego Pierwszego Brzeńskiego Towarzystwa Fabryk Maszyn następujące uwagi: „Określony w zamówieniu typ turbiny i jej budowa (jednokadłubowa turbina przeciwpieżna) oraz zaofiarowane gwarancje uwarunkowały opracowanie projektu, który jak badania powyższe dowiodły całkowicie odpowiedział przyjętym zobowiązaniom.

Przy projektowaniu planu łopatek turbiny posłużył się modelem o nieco większej sprawności od sprawności gwarantowanej. Tem się tłumaczy że w powyżej przedstawionych bardzo dokładnych pomiarach odbiorczych osiągnięto znacznie lepsze wyniki od gwarantowanych. Świadczy to o prawidłowości i niezawodności metod obliczeniowych projektodawcy oraz o dokładności wykonania”.

ten BOSCH, Prof. Politechniki Zurychskiej.

OBLICZENIE KOŁA ZAMACHOWEGO.

Poniższe obliczenie wytrzymałości koła zamachowego przeprowadzone zostało na podstawie metody prof. Tolle (por. Regelung der Kraftmaschinen, 3-cie wydanie, rozdz. 3-ci, str. 270—320, Springer, Berlin).

Oznaczamy przez (rys. 1):

$\omega = \frac{\pi \cdot n}{30}$ — szybkość kątową koła zamachowego

γ — ciężar gatunkowy żeliwa — 0,00725 kg/cm³

E — współczynnik sprężystości żeliwa kg/cm²

R — średni promień wieńca koła — 137,8 cm

r — zewnętrzny promień piasty — 36 cm

l — długość ramion (sprych) — 75 cm

M — ilość ramion — 6

α — połowę kąta środkowego odpowiadającego części wieńca pomiędzy dwoma ramionami, wyrażoną w mierze łukowej — $\pi/6$

F — przekrój wieńca koła — 1400 cm²

$F' = \lambda \cdot F = - \int \frac{\eta}{R + \eta} df$, pewną powierzchnię

pomocniczą, wyznaczoną metodą wykresną

Mohr'a dla pełnego przekroju wieńca na 9,6 cm²

f_a — przekrój ramienia przy wieńcu — 373 cm²

f_m — średni przekrój ramienia — 413,5 cm²

f_i — przekrój ramienia przy piastce 454 cm²

P_0 — siłę rozciągającą, jednakową dla wszystkich przekrojów wieńca i działającą w ich ośrodkach ciężkości w kg

Z — siłę ciągnącą z jaką ramiona działają na wieńiec koła w kg

P' — siłę zginającą, sprowadzoną do środka koła w kg. Siła ta obraca przekrój wieńca około osi środków ciężkości tych przekrojów

i jest prostopadła do promienia krzywizny tej osi.

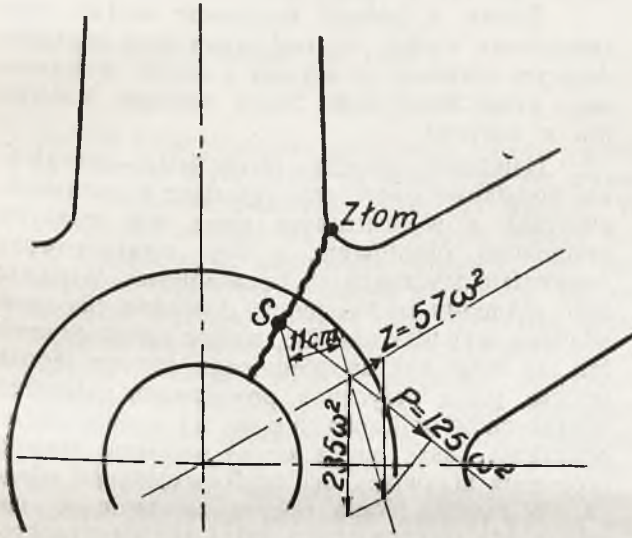
σ — naprężenie obwodowe w wieńcu koła pomyślanym jako wirujący swobodnie (bez ramion)

$$\sigma = \frac{\gamma}{g} \cdot R^2 \cdot \omega^2 = \frac{0,00725 \cdot 137,8^2}{981} \cdot \omega^2 = 0,14 \cdot \omega^2$$

T_o — podłużną siłę obwodową w wieńcu koła pomyślanym jako swobodny:

$$T_o = \sigma \cdot F = 0,14 \cdot 1400 \cdot \omega^2 = 196 \omega^2$$

Przedewszystkiem obliczamy ciągnięcie, jakie pod wpływem siły odśrodkowej ramion dział



Rys. 1.

ać będzie w przekroju ramion przy piąście. Dla ramion ograniczonych liniami prostymi Tolle podaje w tym celu równanie następujące:

$$\begin{aligned} \max \sigma_{ic} = & \frac{\omega^2 \cdot \gamma}{g} \cdot \frac{l}{6} \cdot \left[r + 4 \cdot \frac{f_m}{f_i} \cdot \left(r + \frac{l}{2} \right) + \right. \\ & \left. + \frac{f_a}{f_i} \cdot \left(r + l \right) \right] = \frac{0,00725 \cdot \omega^2}{981} \cdot \frac{75}{6} \cdot \left[36 + \right. \\ & \left. + \frac{4,413,5}{454} \cdot \left(36 + \frac{75}{2} \right) + \frac{373}{454} \cdot \left(36 + 75 \right) \right] \end{aligned}$$

$$\text{czyli: } \sigma_{ic} = 0,0365 \omega^2$$

Pod wpływem tej siły powstaje wydłużenie Δl_c ramienia, które można wyznaczyć dokładnie jedynie metodą wykreślną. Brak czasu nie pozwolił nam na wykonanie odnośnej konstrukcji. Wobec tego zastosowano przybliżony wzór, podany przez Tolle'go, według którego wydłużenie ramienia Δl_c waha się pomiędzy;

$$0,6 \text{ do } 0,7 \frac{\sigma_{ic} \cdot l}{E}$$

W kierunku wieńca koła ramiona zwężają się bardzo nieznacznie. Wobec tego spólczyn-

nik wymienionego wydłużenia leżeć będzie w granicach 0,6 do 0,65. Wydłużenie ramion przyjęte zbyt nisko zwiększa bowiem bezpieczeństwo w obliczeniach naprężeń, gdyż naprężenia zginające w wieńcu koła są tem większe, im mniejsze są wydłużenia ramion pod wpływem sił odśrodkowych własnych. Wobec tego przyjęto:

$$E \cdot \Delta l_c = 0,6 \cdot \sigma_{ic} \cdot l = 0,6 \cdot 75 \cdot 0,0365 \cdot \omega^2 = 1,65 \cdot \omega^2$$

Następnie obliczyć można siły P_o i Z (por. Tolle, str. 294/297)

$$P_o \cdot \left(1 + \frac{F'}{F} \right) \cdot \alpha + \frac{Z}{2} = T_o \cdot \alpha$$

i

$$\begin{aligned} P_o \cdot \left(A - \frac{F'}{F} \right) + Z \left(\frac{F'}{f_m} \cdot \frac{l}{R} + B \right) = \\ = T_o \cdot A - \frac{\Delta l_c \cdot E \cdot F'}{R} \end{aligned}$$

A i B wybieramy z tabeli podanej na str. 298 cytowanego podręcznika w zależności od ilości ramion.

Dla

$$\alpha = \frac{\pi}{6} = 0,5236;$$

$\sin \alpha = 0,5$; $\cos \alpha = 0,866$ i $\operatorname{ctg} \alpha = 1,732$ wobec czego:

$$A = 0,0889 \text{ i } B = 0,08645$$

Po wprowadzeniu tych wielkości do równań dla P_o i Z otrzymamy:

$$\left(1 + \frac{9,6}{1400} \right) \cdot 0,5236 \cdot P_o + 0,5 \cdot Z = 0,5236 \cdot 196 \omega^2$$

albo:

$$0,525 \cdot P_o + 0,5 \cdot Z = 102,5 \cdot \omega^2$$

i

$$\begin{aligned} P_o \cdot \left(0,0889 - \frac{9,6}{1400} \right) + Z \cdot \left(\frac{9,6}{413,5} \cdot \frac{75}{137,8} + \right. \\ \left. + 0,8645 \right) = 0,0889 \cdot 196 \cdot \omega^2 - \frac{1,65 \cdot \omega^2 \cdot 9,6}{137,8} \end{aligned}$$

albo

$$0,082 \cdot P_o + 0,099 \cdot Z = 17,285 \cdot \omega^2$$

Stąd wynika:

$$P_o = 141 \cdot \omega^2 \text{ kg.}$$

i

$$Z = 57 \cdot \omega^2 \text{ kg.}$$

Każde ramię będzie rozciągane siłą Z , a odpowiadające jej naprężenie wyniesie: dla przekroju ramienia przy wieńcu:

$$\sigma_{az} = \frac{Z}{f_a} = \frac{57 \cdot \omega^2}{373} = 0,153 \cdot \omega^2$$

dla przekroju ramienia przy piaście:

$$\sigma_{iz} = \frac{Z}{f_i} = \frac{57 \cdot \omega^2}{454} = 0,126 \omega^2$$

Ogólne przeto naprężenie ciągnące wewnętrznego przekroju ramienia będzie:

$$\sigma_i = (\sigma_{iz} + \sigma_{ic}) = (0,126 + 0,0365) \cdot \omega^2 = 0,163 \omega^2$$

Dla określenia naprężeń działających w wieńcu koła potrzebne nadto są obliczenia następujące:

$$T_o - P_o = (196 - 141) \cdot \omega^2 = 55 \cdot \omega^2$$

oraz

$$0,5 \cdot Z \cdot \text{ctg } \alpha = 0,5 \cdot 1,732 \cdot \omega^2 = 49 \cdot \omega^2$$

Na ich podstawie znajdujemy dla dowolnego przekroju φ :

$$P' = (T_o - P_o) - 0,5 \cdot Z \cdot \text{ctg } \alpha \cdot \cos \varphi - 0,5 \cdot Z \cdot \sin \varphi$$

a dla $\varphi = 0$

$$P'_{\max} = 6 \cdot \omega^2 \text{ kg}$$

Przez φ oznaczamy kąt środkowy pomiędzy osią ramienia a promieniem przechodzącym przez rozpatrywany przekrój.

W dowolnym przekroju wieńca istnieć będzie równomiernie rozłożone ciągnięcie:

$$\sigma_o = \frac{P_o}{F} = \frac{141}{1400} \cdot \omega^2 = 0,1 \cdot \omega^2$$

oraz naprężenie zginające:

$$\sigma = \frac{P'}{F'} \cdot \frac{\eta}{R + \eta}$$

Dla wewnętrznej strony przekroju wieńca jest $\eta = -21,3 \text{ cm}$ wobec czego:

$$\sigma_{\text{wewn}} = \frac{6 \cdot \omega^2}{9,6} \cdot \frac{21,3}{137,8 - 21,3} = 0,115 \cdot \omega^2$$

Razem z występującem jednocześnie ciągnięciem

$$\sigma_o = 0,1 \cdot \omega^2$$

powstaje w ten sposób po wewnętrznej stronie przekroju wieńca tuż obok ramion, największe ciągnięcie które wynosi:

$$(0,115 + 0,1) \cdot \omega^2 = 0,215 \cdot \omega^2$$

Wieniec koła pomyślany jako część zupełnie swobodna byłby obciążony tylko naprężeniem o wielkości:

$$0,14 \cdot \omega^2$$

Dla przekroju wieńca, leżącego pośrodku pomiędzy dwoma ramionami

$$\varphi = \alpha$$

wobec czego:

$$\begin{aligned} P'_{\varphi=\alpha} &= (T_o - P_o) - 0,5 \cdot Z \cdot \text{ctg } \alpha \cdot \cos \alpha - \\ &- 0,5 \cdot Z \cdot \sin \alpha = (T_o - P_o) - \frac{Z}{2 \cdot \sin \alpha} = \\ &= -2 \cdot \omega^2 \end{aligned}$$

W tym zatem przekroju panują znacznie słabsze naprężenia zginające.

Największe ciągnięcie, jakie powstaje w wieńcu koła, leży w bezpośrednim sąsiedztwie ramion koła i wynosi:

$$\sigma_{\max} = 0,215 \cdot \omega^2$$

Przy wytrzymałości żeliwa na zerwanie o wielkości 1800 kg/cm^2 , pęknięcia wieńca należałyby się spodziewać dopiero przy:

$$\omega_{\max} = \sqrt{\frac{1800}{0,215}}$$

czyli przy 880 obrotach koła na minutę.

Żeliwo z jakiego wykonane zostało koło zamachowe wydaje się być materiałem odpowiadającym normom, co wynika z atestu wystawionego przez Szwajcarską Stację Badania Materiałów w Zurychu.

Należałoby jeszcze—biorąc ściśle—uwzględnić dodatkowe naprężenia zginające w ramionach, związane z wytwarzaniem przez wał maszyny momentem obrotowym, a więc uwarunkowane momentem stycznych sił bezwładności. Wielkość tego momentu trudno jednak dokładnie dla omawianego wypadku określić, wobec czego czynnik ten nie mógł być uwzględniony. Istnieje jednak jeszcze jedna przyczyna powstawania naprężeń większych od obliczonych powyżej, a mianowicie: obliczenie nasze opiera się na przyjęciu stałego promienia krzywizny osi środków ciężkości wieńca. W pobliżu jednak ramion założenie to nie odpowiada rzeczywistości, gdyż skutkiem zaokrąglenia kąta między wieńcem a ramieniem, środek ciężkości wieńca zbliża się do środka geometrycznego koła. Po określeniu dokładnych położzeń środków ciężkości tych przekrojów wieńca można wykreślić dokładniej osi środków ciężkości wieńca i przekonać się, że promień krzywizny w tych miejscach zamiast

$$R = 137,8 \text{ cm}$$

wynosi tylko:

$$R = 70 \text{ cm}$$

i nawet jeszcze mniej. Wobec tego wyraz:

$$\frac{\eta}{R + \eta}$$

zwiększa swą wartość i w związku z tem wzrastają naprężenia zginające.

Dla $R = 70 \text{ cm}$ będzie:

$$\sigma = \frac{6 \cdot \omega^2}{9,6} \cdot \frac{21,3}{70 - 21,3} = 0,27 \cdot \omega^2$$

a

$$\sigma_{\max} = 0,37 \cdot \omega^2 = 1800$$

wobec czego krytyczna ilość obrotów na minutę wynosiłaby zaledwie 670.

Przebieg płaszczyzn złomu w kierunku równoległym do ramion a nie w kierunku promieniowym dowodzi słuszności powyższych wywodów. Tego rodzaju podwyżki naprężeń powstają z reguły w miejscach nagłych zmian kierunkowych osi środków ciężkości (por. np. *Bach. Elastizität und Festigkeit*, str. 569).

Koło zamachowe, które przy powyższym obliczeniu uważaliśmy za koło lite byłoby więc obliczone i zaprojektowane z sutym zapasem wytrzymałości. Pozostaje jeszcze do zbadania czy wytrzymałość koła nie ucierpiała wobec wykonania go z dwóch osobnych części. Ponieważ naprężenia zginające pomiędzy ramionami przy

$$\varphi = \alpha$$

są znacznie mniejsze niż przy

$$\varphi = 0$$

podział koła pomiędzy ramionami należy uważać za celowy. Wydrążenia na łubki klinowe wywołują miejscowe osłabienia przekroju wieńca. To osłabienie rozciąga się aż w pobliże ramion, t. j. do miejsca gdzie naprężenie zginające jest największe. Umieszczenie łubek klinowych na osi środków ciężkości wieńca jest korzystne, gdyż wyłącza możliwość dodatkowych naprężeń zginających. Panujące w tych miejscach naprężenia zginające niewiele zmienić się mogą, albowiem w osłabionym przekroju wieńca brak materiału zachodzi jedynie w pobliżu osi środków ciężkości. Natomiast wzrasta tutaj rozłożone równomierne ciągnięcie ponieważ przekrój wieńca wynosi zaledwie 1133 cm^2 zamiast normalnych 1400 cm^2 .

Wobec tego

$$\sigma_0 = \frac{196 \cdot \omega^2}{1133} = 0,173 \cdot \omega^2$$

Dla $R = 137,8 \text{ cm}$, $\sigma_{\max} = (0,173 + 0,115)\omega^2 = 0,288 \cdot \omega^2$

a dla $R = 70 \text{ cm}$, $\sigma_{\max} = (0,173 + 0,27) \cdot \omega^2 = 0,443 \cdot \omega^2$

a więc pęknięcia wieńca koła obawiać się należy przy:

$$\omega = \sqrt{\frac{1800}{0,443}}$$

czyli przy 600 obrotach na minutę. Tutaj należało się spodziewać pierwszego pęknięcia koła.

Obciążenie połączeń śrubowych i klinowych.

Obliczenie połączeń klinowych wieńca koła i połączeń śrubowych jego piasty wykonywa się zazwyczaj na całkowitą wielkość siły odśrodkowej połówki koła. Uważam to za uzasadnione, gdyż przy odkształceniach sprężystych koła, śruby łączące jego piastę muszą na pewno przenieść całkowitą siłę odśrodkową.

Siła odśrodkowa, każdej połówki koła zamachowego wynosi ok: $470 \cdot \omega^2 \text{ kg}$. Część wieńca w której oprawione są łączące wieńiec kliny, posiada w najłabszym miejscu przekrój:

$$\frac{\pi}{4} \cdot 19^2 = 6,8 \cdot 9 = 150 \text{ cm}^2$$

Wobec tego równomiernie rozłożone ciągnięcie wynosić będzie:

$$\frac{470 \cdot \omega^2}{2 \cdot 150} = 1,57 \cdot \omega^2 \text{ w kg}$$

Przy $n = 600$ wypadnie przeto tutaj ciągnięcie o wielkości przeszło 6000 kg/cm^2 . Już przeto przed pęknięciem wieńca koła nastąpi w tej części wieńca odkształcenie trwałe, wobec czego całkowita wielkość siły odśrodkowej przenieść się będzie na piastę i na jej połączenie śrubowe.

Najłabszy przekrój piasty leży w miejscu, w którym umieszczone są kliny styczne. Piastę obliczamy jako belkę o silnej krzywiznie, obciążoną na zginanie. W wypadku o którym mowa zastosować można ogólny wzór (por. *Hütte*, t. 1, 25 wydanie, str. 654).

$$\sigma = \frac{P}{F} + \frac{M}{F \cdot R} + \frac{M}{F' \cdot R} \cdot \frac{\eta}{R + \eta}$$

P — siła normalna działająca w środku ciężkości ze znakiem dodatnim przy rozciąganiu, ujemnym przy zginaniu,

M — moment zginający w kg/cm ze znakiem dodatnim o ile działa w kierunku zwiększenia krzywizny belki i ujemnym o ile działa w kierunku odwrotnym,

F — przekrój piasty w najłabszym miejscu — 860 cm^2 ,

R — promień krzywizny osi środków ciężkości piasty — 28 cm ,

$F' - \lambda \cdot F = - \int \frac{\eta}{R + \eta} \cdot df$ pewne pole

pomocnicze, którego wielkość wyznaczono wykreślić na 26 cm^2 .

Pewna trudność i niepewność tego obliczenia polega na konieczności dokładnego określenia promienia krzywizny R . Ponieważ jednak w naszym wypadku wiadome jest miejsce i kierunek powierzchni złomu, środek ciężkości przekroju może być tutaj określony zupełnie dokładnie dla tego właśnie określonego miejsca. Co do formy osi środków ciężkości a więc i co do wielkości promienia krzywizny w najbliższym sąsiedztwie miejsca złomu zdania mogą być rozbieżne. Nie jest nawet wykluczone istnienie punktu przegięcia krzywej, co odpowiada $R = \infty$, albo zmiana kierunku jej krzywizny.

Niezależnie jednak od wszelkich wątpliwości związanych z określeniem wielkości i kierunku promienia krzywizny w miejscu złomu, naprężenia istniejące w tym miejscu nie mogą być jak wiadomo mniejsze od naprężeń obliczonych według wzoru:

$$\sigma = \frac{P}{F} + \frac{M}{F \cdot R} + \frac{M}{F \cdot R \cdot \lambda} \cdot \frac{\eta}{R + \eta}$$

przy $R = \infty$ t. j. w założeniu, że oś środków krzywizny stanowi linię prostą.

Przy powyższym założeniu drugi z kolei człon naszego równania posiada wartość zerową, trzeci zaś wobec tego że

$$F \cdot R^2 \cdot \lambda = J$$

przyjmuje postać:

$$\frac{M}{J} \cdot \eta$$

wobec czego:

$$\sigma = \frac{P}{F} + \frac{M}{J} \cdot \eta$$

Jest to równanie dla pręta prostego. Jeżeli naprężenia obliczymy na podstawie tego wzoru, to otrzymamy najmniejsze wartości tychże z jakimi w najkorzystniejszych warunkach liczyć się należy. Przy uwzględnieniu bowiem zakrzywienia osi w jakąkolwiek stronę muszą naprężenia wypaść znacznie większe.

Jeżeli na podstawie rys. 2 przyjmiemy:

$$P = 125 \text{ kg}$$

$$F = 860 \text{ cm}^2$$

$$M = 2120 \cdot \omega^2 \text{ kg/cm}$$

$$J = \text{około } 33000 \text{ cm}^4$$

$$\eta = 17,3 \text{ cm}$$

to otrzymamy:

$$\sigma = \frac{125}{860} \cdot \omega^2 + \frac{2120}{33000} \cdot \omega^2 \cdot 17,3 = 1,25 \cdot \omega^2$$

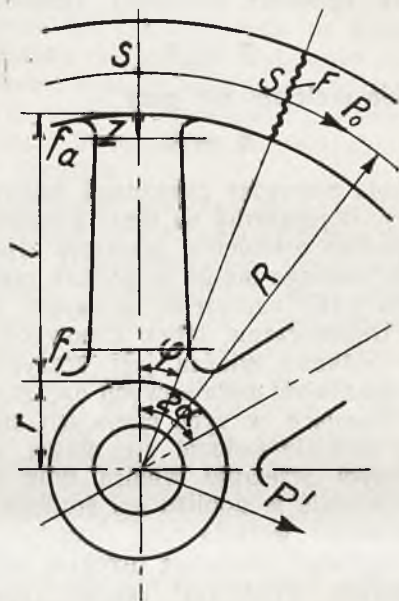
Piasta pęknie przeto już przy

$$\omega = \sqrt{\frac{1800}{1,25}}$$

co odpowiada 360 obrotom na minutę. Pęknięcie piasty zajdzie zatem przed rozerwaniem wieńca

koła zamachowego. Śruby łączące piastę posiadają ok. 90 mm średnicy w rdzeniu i są dostatecznie wytrzymałe.

Przy obliczeniu założono, że połączenie śrubowe piasty przyjmuje całkowitą siłę odśrodkową jaka w jednej połowie koła zamachowego powstaje. W rzeczywistości na połączenie to działa tylko pewna część tej siły. Obliczenie istotnej wielkości sił działających możnaby przeprowadzić wychodząc z ogólnych odkształceń koła. Tego atoli zaniechano ponieważ dokładność wyników uciążliwego rachunku zależy od obioru



Rys. 2.

spółczynnika sprężystości, który różni się znacznie w zależności od znaku naprężeń (ciągnienia, czy ciśnienia). Na dokładność wyników takiego obliczenia wpływają również zgoła nieznane wstępne naprężenia śrub. Należałoby pozatem wprowadzić do obliczenia większą wytrzymałość żeliwa na zginanie. Z powyższych powodów krytyczna liczba obrotów może w rzeczywistości być nieco większą od obliczonej.

Wnioski

Koło zamachowe było zatem obliczone prawidłowo i zbudowane z dostatecznym zapasem. Najłabsze miejsca konstrukcji znajdują się w piastie na wykrojach dla klinów oraz na wewnętrznej stronie wieńca koła przy ramionach i w miejscu osłabienia przekroju wieńca wydrążeniem na łubki dla klinów.

Prof. Edwin HAUSWALD.

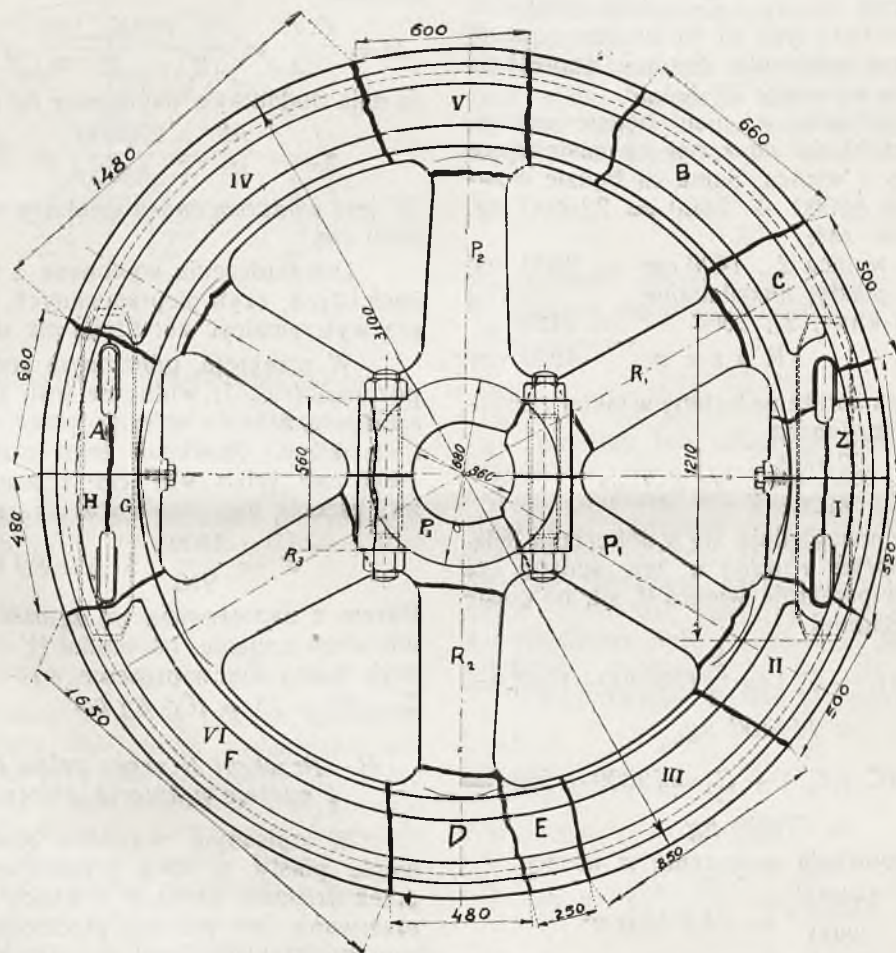
NAPRĘŻENIA W KOŁACH ZAMACHOWYCH.

W numerze I „Techniki Ciepłej” z b. r. ogłoszono cenny referat inż. Biedrzyckiego, przedstawiający stan faktyczny po wypadku z wielkim kołem zamachowym oraz streszczenie omówienia wypadku w *Łódzkim Stowarzyszeniu Techników*. Wyjaśnienie rzeczywistego przebiegu katastrofy jest wogóle bardzo trudne, z powodu istnienia różnych możliwości rozwiązania niedo-

stalacyj w nienagannym stanie i wyrwałego *szereżenia praktycznej znajomości obsługi maszyn* w gronie techników i maszynowych.

Na zebraniu poruszono zajmującą kwestję, czy pęknięcie rozpędzonego koła rozpoczęło się *w wieńcu* czy też *w piastach*, która była, jak zwykle, osłabiona przez rowki na kliny.

Do rozstrzygnięcia powstałych przytem



Rys. 1.

kładnie określonych zjawisk. Jedno jest tylko pewnem, że właściwie nie samo koło zamachowe, lecz tylko nieostrożność obsługi i błędne zmontowanie pewnej części regulatora stały się powodem rozpędzenia maszyny, prawdopodobnie ponad 500 obrotów na minutę, co wreszcie wywołać musiało rozpad koła. Stwierdzenie takie jest ważnem dla przyszłej praktyki, gdyż zgodnie z całą działalnością *Stow. Dozoru kotłów* zwraca dobitnie uwagę ogółu na konieczność nieustannej troski o bezpieczeństwo naszych konstrukcyj, na potrzebę utrzymania aparatów i całych in-

watpliwości koniecznem jest *przeliczenie sił, momentów i naprężeń*, występujących w odnośnych częściach koła, tak przy prędkości normalnej jak krytycznej. Korzystając więc z dat podanych w wymienionym artykule oraz z informacji otrzymanych od konstruktorów danej maszyny, opracowałem *krótką analizę sił i naprężeń* dla dwu podejrzanych przekrojów *przysrednicowych*, mianowicie przekroju A, zawierającego w sobie połączenia wieńca i przekroju B, w którym nastąpiło widoczne pęknięcie piasty (rys. I).

A. Obliczenie reakcji odśrodkowej w miejscu złączenia.

(Przekrój pod kątem 20° do poziomu, rys. 1.)
Na połączenie obu połówek koła działają:

1. Siła odśrodkowa $\frac{1}{2}$ wieńca $C = m \frac{2}{\pi} R \omega^2$
w danem kole $C = 200000 \text{ gk.}$
2. Suma składowych sił odśrodkowych trzech ramion, w kierunku równoległym do C $C_r = \sim 16000$
3. Siła odśrodkowa połowy piasty $C_p = 5600$
4. Napięcie ramion siłami wewnętrznymi $Z = \text{około } 29000 \text{ kg.}$

Co do rozkładu tych sił na wieńiec i piastę możliwe są różne założenia. Średnie naprężenie wolnego wieńca wynosiło 70 kg/cm^2 .

a) Najprostszym z nich będzie założenie *równego rozkładu naprężeń* na następujące przekroje piasty i wieńca. Suma sił będzie wówczas $200000 + 16000 + 5600 = 221600 \text{ kg}$, suma przekrojów zaś:

$$\begin{array}{rcl} \text{przekroje wieńca } 2 \cdot 1400 \text{ cm}^2 & = & 2800 \text{ cm}^2 \\ \text{przekroje piasty, nieosłabione} & & \\ \text{przez rowki na kliny, } 2 \cdot 1060 & = & 2120 \text{ „} \\ \hline \text{R a z e m} & & 4920 \text{ cm}^2 \end{array}$$

Przeciętne naprężenie byłoby w takim razie — z pominięciem *zginania* —

$$\sigma = \frac{221600}{4920} = 45 \text{ kg/cm}^2$$

b) zwykle uwzględnia się w obliczeniu ściągający koło *wpływ ramion* w ten sposób, że liczymy na oba przekroje wieńca $\frac{2}{3}$ sił, na piastę zaś $\frac{1}{3}$ sił, dokładniej

$$\text{na wieńiec: } \frac{2}{3} (C + C_r) = \frac{2}{3} (200000 + 16000) = 144000 \text{ kg,}$$

$$\text{na piastę: } \frac{1}{3} (C + C_r) + C_p = 72000 + 5600 = 77600 \text{ kg.}$$

Temu odpowiada naprężenie w wieńcu

$$\sigma = \frac{144000}{2800} = 51,5 \text{ kg/cm}^2$$

$$\text{w piastę } \sigma_p = \frac{77600}{2120} = 36,7 \text{ „ „}$$

c) aby sprawdzić, czy założenie (b) jest uzasadnione, rozważymy działanie sił Z w ramionach, biorąc sumę ich składowych w kierunku równoległym do C . Na wieńiec działają tedy siły: $C - 2Z = 200000 - 58000 = 142000 \text{ kg}$.

Wielkość sił wewnętrznych w ramionach podałem wedle *Tollego* i obliczenia fabryki $Z = 29000 \text{ kg}$. Wartość ta wydaje mi się zbyt wielką, ale ją zatrzymuję. Według *Timoszenki* siła Z wynosi tylko 19200 kg .

Na piastę działają składowe trzech sił Z , w sumie swej równe $2Z$, własna siła odśro-

kowa C_r trzech ramion i $\frac{1}{2}$ piasty C_p . Razem więc:
 $S_p = 2Z + C_r + C_p = 58000 + 16000 + 5600 = 79600 \text{ kg.}$

a naprężenie w piastę

$$\sigma_p = \frac{79600}{2120} = 37,5 \text{ kg/cm}^2$$

Widzimy więc, że nasze założenie (b) zgadza się wcale dobrze z dokładniejszym planem sił. Sprawę obliczenia napięcia ramion siłami Z przedstawię bliżej w innej pracy (*Przegląd Techniczny*, 1928) razem z wyznaczeniem momentów zginających wieńiec. Na razie podaję wprost moment:

$$M = \frac{Z \cdot R}{12} = \frac{1}{12} \frac{29000 \cdot 138}{12} = 235000 \text{ cmkg,}$$

co daje dodatkowe naprężenie od zginania wieńca

$$\sigma_g = \frac{M}{W} = \frac{235000}{8400} = 28 \text{ kg/cm}^2$$

W jest *modułem oporu* przekroju wieńca, równym 8400 cm^3 .

Doświadczenia wykonane z kołami o *wieńcach litych*, czyli nieprzerwanych, wykazały większą wytrzymałość kół litych niż składanych.

W przekroju, położonym pod kątem 20° do poziomowi (rys. 1) widoczne jest znaczne *nadwężenie przekroju wieńca* przez otwory na ściąg i na kliny. Skutkiem tego mamy tu zamiast 1400 cm^2 tylko 910 cm^2 żelaza, co powoduje zwiększenie naprężenia rozciągającego na

$$\sigma' = \frac{1400}{910} \cdot 51,5 = 80 \text{ kg/cm}^2$$

Razem z naprężeniem od zginania, które prawie nie ulega zmianie, bo moduł W mało się zmniejszył, mamy więc naprężenie wypadkowe w wieńcu $S = 80 + 28 = 108 \text{ kg/cm}^2$.

B. Przekrój II przez pełną część wieńca i miejsce pęknięcia piasty (rys. 2).

W opisanym wypadku stwierdzono rozerwanie piasty w dwu przekrojach, osłabionych przez działanie karbu w rowkach klinowych oraz przerwanie dwu pełnych przekrojów wieńca w tym samym przekroju (por. rys. 1). Nie przesądząc wobec braku pewnych dowodów, czy pierwsze pęknięcie nastąpić mogło w przekroju przy średnicowym A czy B , przeprowadzę teraz *analizę działań* w II-im przekroju koła.

W tem położeniu (rys. 2) mamy tylko dwa ramiona, dające składowe równoległe do siły C i to w sumie równej:

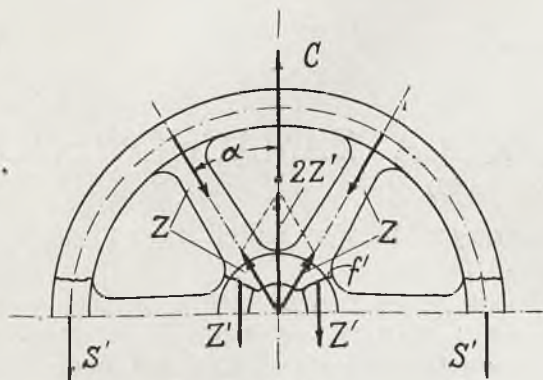
$$\begin{array}{l} C_z = 2 C_r \cos \alpha = 2 \cdot 8000 \cdot 0,866 = 13860 \text{ kg} \\ \text{Siły ściągające w ramionach dają dwie składowe} \\ 2 Z' = 2 Z \cos \alpha = 58000 \cdot 0,866 = 50000 \text{ kg} \\ \text{Na wieńiec lity działają teraz siły:} \\ S = C - 2 Z \cos \alpha = 200000 - 50000 = 150000 \text{ kg} \\ \text{skąd otrzymamy } \sigma' = \frac{150000}{2 \cdot 1400} = 53,5 \text{ kg/cm}^2; \end{array}$$

razem zaś z naprężeniem od zginania

$s' = 53,5 + 28 = 81,5 \text{ kg/cm}^2$, czyli naprężenie o 26% mniejsze niż w przekroju A .

Na *piastę* działały w miejscach przerwania własne reakcje odśrodkowe ramion (C_2), siły składowe, równe $2 Z \cos \alpha$ i co najwyżej 60% siły C_p , zatem:

$$S_p = C_2 + 2 \cdot Z \cdot \cos \alpha + 0,6 \cdot C_p = 13860 + 50000 + 3360 = 67200 \text{ .kg.}$$



Rys. 2.

Siła ta rozłożyła się na dwa przekroje piasty, *osłabione* z pierwotnych $2 \times 1060 \text{ cm}^2$ przez *radjalny wymiar* rowka klinowego na $2 \times 930 \text{ cm}^2$. Z tego pola przekroju trzeba nadto wziąć tylko *rzut prostopadły* do kierunku powyższych sił rozrywających, czyli $f' \cdot \cos \alpha = 0,866 \cdot 930 = 800 \text{ cm}^2$.

Skutkiem tego naprężenie

$$\sigma_{p'} = \frac{67200}{2 \times 800} = 42 \text{ cm}^2$$

Rowki na kliny stanowią zawsze szkodliwe *karby*, wywołujące *miejscowe zwiększenie naprężeń*, zwłaszcza przy ostrych przejściach, które tu mają zaledwie 1 mm promienia. Wykonanie takie jest powszechnie używane i nie powoduje zwykle pęknięć, ale na przyszłość trzeba będzie w takich miejscach dawać *wyokrąglenia o promieniach 5 do 8 lub więcej mm*.

Przy promieniu 1-milimetrowym trudno jest określić owo naprężenie miejscowe w karbie, łagodzone zresztą współdziałaniem głębiej leżących warstw. Ocenic je można z grubsza na $2,5 \sigma'$ do $3 \sigma'$, to znaczy $\sigma'' = 105$ do 126 km/cm^2 .

Przy normalnej prędkości, albo nawet powiększonej o 30%, ani naprężenie w piastce, ani w wieńcu nie byłoby spowodowało rozerwania koła. W szczególności co do piasty zwracam uwagę na *rozmieszczenie pęknięć* (por. rys. 1), które mogły wprawdzie wyprzedzić pęknięcie wieńca, ale mimo to nie *zdołałyby wprost wywołać zniszczenia koła, dopóki wieńiec był jeszcze nienaruszony*. Wykonywa się przecież często koła z piastą 6 razy przeciętą, mogące

nawet przy lekkim tylko ściągnięciu obręczani trwale pracować, o ile siły styczne nie zmieniają się zbyt gwałtownie.

Ze względu na działanie odśrodkowe koło mogło dalej istnieć, gdyby nawet piasta była pęknięta, z tą tylko różnicą, że siły odśrodkowe położyły piasty i ramion przeniosłyby się na wieńiec, co wyniosłoby w *normalnych warunkach* ($n = 214$) zaledwie $5600 + 16000 = 21600 \text{ kg.}$, czyli 10,8% więcej niż poprzednio. Równocześnie zaś znikłyby w pewnym stopniu siły ściąające ramiona (Z) usuwając częściowo zginanie wieńca. Z tego wynika, że o rozpadnięciu się koła decyduje ostatecznie *rozerwanie wieńca* które tu nastąpić mogło przy *prędkości krytycznej* ω' zbliżonej do 3ω .

Jeżeli bowiem wytrzymałość graniczna danego żelaza wynosiła około 1000 kg/cm^2 , a naprężenia wypadkowe wieńca przy normalnej prędkości kątowej

$$\omega = \frac{\pi n}{30} = 22,4$$

przyjmujemy równe s , to granicę wytrzymałości R osiągnie się przy stosunku

$$\left(\frac{\omega'}{\omega} \right)^2 = \frac{R}{s}$$

Wniosek ten uzupełnić trzeba obliczeniem naprężenia wypadkowego w *osłabionych przekrojach wieńca*, tam gdzie są otwory na ściągi stalowe — *nawiasem mówiąc trochę za grube* — i na kliny poprzeczne. Przekrój taki ma tylko 910 cm^2 , skutkiem czego naprężenie na rozciąganie $\sigma'' = 80$, jako już przedtem podano a wypadkowe było równe $s = 108 \text{ kg/cm}^2$ przy prędkości normalnej $\omega = 22,4$ i $n = 214$.

Wyprowadźmy teraz stosunki:

$$\left(\frac{\omega'}{\omega} \right)^2 = \left(\frac{n'}{n} \right)^2 = \frac{R}{s} = \frac{1000}{108} = 9,3$$

i krytyczną ilość obrotów

$$n' = n \cdot \sqrt{\frac{R}{s}} = 3,05 n = 650 \text{ obr.}$$

a prędkość środka ciężkości wieńca $v' = 93 \text{ m/s}$. Wynik ten, nie dający się tym razem sprawdzić, porównałem z próbami, dokonanymi w Ameryce na *modelach kół zamachowych* (Beniamin) o dwudzielnym wieńcu, łączonych podobnie jak w danym przypadku. Otóż koła takie, wykonane z żelaza o wytrzymałości $R = 1250 \text{ kg/cm}^2$ rozpadały się przy $v' = 88,5 \text{ m/s}$, co byłoby zgodne z wynikiem naszego obliczenia.

Opisany w „Techniki Ciepłej” wypadek nie wykazał właściwie większych braków w samym kole, ale zwrócił uwagę na *przeoczaną zbyt często doniosłość sztuki należytego rozumienia* nowych maszyn, mechanizmów i aparatów oraz *umiejętnej ich obsługi*.

Na zakończenie zwracam się z zapytaniem do specjalistów w mechanicznym badaniu materiałów, czy próby dokonane już po *przetęczeniu dobrego* pierwotnie żelaza lanego, zwłaszcza pod działaniem sił odśrodkowych, mogą dać w przybliżeniu taką samą wytrzymałość jak przed katastrofą, czy też podają tylko *wytrzymałość resztkową ze-psutej* już struktury?

Działanie sił odśrodkowych tworzy wprawdzie moim zdaniem może *najlepszy środek do badania wytrzymałości ciał*, gdyż odrywa rów-

nomiennie wszystkie ziarna (kryształy) od siebie; gdy jednak dane ciało przebyło taką skrajną próbę, że się już rozleciało, a żelazo lane nie ma *granicy plastyczności* na rozciąganie, względnie jego σ_{pl} jest wprost identyczne z granicą wytrzymałości R , to przypuszczam, że spójnia tego żelaza została przytem gruntownie naruszona, wobec czego pomiary dokonane po wypadkach wykazałyby tylko *resztę wytrzymałości*, o wiele niższą od pierwotnej.

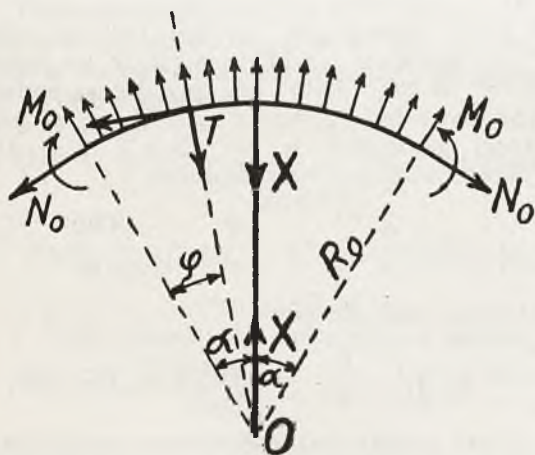
PROF. M. T. HUBER.

ROZWAŻANIA NAD EKSPLOZJĄ KOŁA ZAMACHOWEGO.

(por. *Technika Ciepna*, 1928 str. 85).

3.

Przystępując do dokładniejszej teorii stanu napięcia w kole zamachowym należy przedewszystkiem uwzględnić wpływ ramion. Podczas obrotu jednostajnego koła ramiona wstrzymują swobodne rozszerzanie się wieńca pod wpływem sił odśrodkowych. Wskutek tego powstają w ramionach siły rozciągające X (rys. 3), które z jednej strony zmniejszają siły „podłużne” N w przekrojach wieńca (czyli zmniejszają naprężenia obliczone dla wieńca swobodnie wirującego); z drugiej strony zaś powodują momenty zginające, które zależnie od znaku zwiększają naprężenia



Rys. 3.

we włóknach skrajnych. Wpływ odkształcenia piasty na wymienione siły i momenty w wieńcu i ramionach będzie zapewne bardzo mały, dzięki jej znacznej sztywności jako całość w porównaniu ze sztywnością tamtych części. W znanych mi opracowaniach tego zadania wpływ ten również pomijano z wyjątkiem obliczenia H. Bauer'a w „Dinglers Polit. Journal” z r. 1908, str. 353. Ale ten autor nie uwzględnił zato zakrzywienia wieńca przy obliczeniu energii odkształcenia, czyli przyjmuje linjowy rozkład naprężeń zginających w wieńcu, co prowadzi najprawdopodobniej

do większych błędów aniżeli zaniedbanie odkształceń piasty.

Obok siły X występuje tutaj jako druga niewiadoma, moment zginający M_0 w przekrojach wieńca połowiących kąty 2α między ramionami (rys. 3). Pomiędzy M_0 i X zachodzi jednak związek określony warunkiem, że przekroje te przy odkształceniu osiowo-symetrycznym koła nie zmieniają swego nachylenia względem przekrojów leżących w osi ramion. Traktując wieńiec jako pręt silnie zakrzywiony o pierwotnym promieniu krzywizny R_0 , polu przekroju F i momencie bezwładności J tego przekroju względem jego środkowej osi obrotu, mamy dla zmiany $\Delta d\varphi$ kąta $d\varphi$ między dwoma przekrojami sąsiednimi znany wzór II-go przybliżenia (Por. np. Podręcznik Inżynierski pod red. prof. Bryły, Lwów i Warszawa 1927, str. 1151):

$$4) \Delta d\varphi = \left[\frac{M}{E \cdot J} \cdot \left(1 + \frac{i^2}{R_0^2} \right) + \frac{N}{R_0 \cdot E \cdot F} \right] \cdot R_0 \cdot d\varphi$$

Tutaj oznacza M i N moment zginający i siłę podłużną w dowolnym przekroju określonym kątem φ , zaś i ramię bezwładności przekroju wyznaczone z równania

$$J = F \cdot i^2$$

Równanie warunkowe dające szukaną zależność M_0 od X ma tedy postać:

$$5) \int_0^\alpha \Delta d\varphi = 0$$

Zanim je zastosujemy wypada zwrócić uwagę na to, że dokładną wartością siły odśrodkowej przypadającej na element wieńca o długości

$$ds = R_0 \cdot d\varphi \text{ jest}$$

$$\frac{\gamma}{g} \cdot F \cdot (R_0^2 + i^2) \cdot \omega^2 \cdot d\varphi,$$

zamiast przyjmowanej powszechnie w obliczeniach:

$$\frac{\gamma}{g} \cdot F \cdot R_o^2 \cdot \omega^2 \cdot d\varphi,$$

(Wielkość $R_o^2 + i^2$ jest bowiem kwadratem promienia środka masy wycinka elementarnego wieńca). Różnica jest wprawdzie nieznaczna ale rachunek dokładną wartością siły odśrodkowej nie przyczynia, jak się przekonałem, żadnych trudności, a nawet prowadzi do pewnego uproszczenia wzoru dla X .

Z warunków równowagi stosownie wyciętej części wieńca znajdujemy teraz z łatwością dla przekroju φ następujące wyrażenia na siłę podłużną N i moment zginający M :

$$6) \quad N = \frac{\gamma}{g} \cdot F \cdot (R_o^2 + i^2) \cdot \omega^2 - \frac{1}{2} \cdot X \cdot \frac{\cos \varphi}{\sin \alpha}$$

$$7) \quad M = M_o + \frac{1}{2} \cdot X \cdot R_o \cdot \frac{1 - \cos \varphi}{\sin \alpha}$$

Po wstawieniu tych wyrażeń w (4) wzgl. (5) i rozwiązaniu względem M_o znajdujemy

$$8) \quad M_o = - \frac{X \cdot R_o}{2} \left(\frac{1}{\sin \alpha} - \frac{1}{\alpha} \cdot \frac{R_o^2 + 2i^2}{R_o^2 + i^2} \right) - \frac{\gamma}{g} \cdot F \cdot R_o \cdot (i \cdot \omega)^2$$

Odpowiadający wzór pierwszego przybliżenia (por. np. *Timoszenko-Huber*, Kurs Wytrż. Materj., str. 299) ma postać:

$$8a) \quad M_o = - \frac{X \cdot R_o}{2} \cdot \left(\frac{1}{\sin \alpha} - \frac{1}{\alpha} \right)$$

Nakoniec wyznaczmy wielkość X z warunku minimum energii odkształcenia układu. Energia ta składa się z energii odkształcenia sprężystego wieńca V_1 i energii ramion V_2 . Dla V_1 mamy w II-gim przybliżeniu:

$$V_1 = \int_0^\alpha \frac{M^2}{E \cdot J} \cdot \left(1 + \frac{i^2}{R_o^2} \right) \cdot R_o \cdot d\varphi + \int_0^\alpha \frac{N^2 \cdot R_o}{E \cdot F} \cdot d\varphi + 2 \cdot \int_0^\alpha \frac{M \cdot N}{E \cdot F} \cdot d\varphi$$

zaś dla V_2 przy uproszczonym założeniu stałego przekroju ramion równego przekrojowi średniemu F_1 :

$$V_2 = \frac{1}{2} \int_{r_z}^{R_w} \frac{S^2}{F \cdot F_1} \cdot d\rho$$

przyczem siła podłużna w ramieniu:

$$S = X + \frac{F_1 \cdot \gamma}{2 \cdot g} \cdot \omega^2 \cdot (R_w^2 - \rho^2)$$

(ρ oznacza odległość przekroju ramienia od środka koła).

Z warunku

$$\frac{dV_1}{dX} + \frac{dV_2}{dX} = 0$$

otrzymujemy zatem po licznych przekształceniach i wprowadzeniu oznaczeń skracających:

$$\phi = \frac{i^2}{R_o^2 + i^2}, \quad l = R_w - r_z \text{ długość ramienia,}$$

$$f(\alpha) = \frac{1}{2 \cdot \sin^2 \alpha} \cdot \left(\frac{\alpha}{2} + \frac{\sin 2\alpha}{4} \right)$$

$$9) \quad X = F \cdot \frac{\gamma}{g} \cdot (R_o \cdot \omega)^2 \cdot \phi \cdot \frac{1 - \frac{l^2 \cdot (2l + 3r_z)}{b \cdot R_o^3 \cdot (1 - \phi)}}{(1 + 3\phi) \cdot f(\alpha) - \frac{(1 + \phi)^2}{2\alpha} + \frac{F}{F_1} \cdot \frac{l}{R_o} \cdot \phi}$$

W interesującym nas przypadku sześciu ramion jest

$$\alpha = \arccos 30^\circ = \frac{\pi}{6} = 0,5236, \quad f(\alpha) = 0,9565$$

Dla porównania znalezionej wzoru (9) z wzorem 1-go przybliżenia podanym przez *Timoszenkę* w przytoczonej książce (na str. 300, wzór 330) trzeba zastąpić $R_o^2 + i^2$ przez R_o^2 ; l przez R_o i podstawić $r_z = 0$. Z takiego porównania po dwukrotnym sprawdzeniu powyższego rachunku przeze mnie i przez asystenta Katedry Mechaniki Technicznej w Politechnice Lwowskiej p. R. Sze-walskiego), pokazało się, że we wzorze (330) u *Timoszenki* brak po prawej stronie współczynnika $2/3$. Ten błąd wypada przeto poprawić w książce, a wówczas wzór (330) stanie się istotnie 1-szem przybliżeniem naszego wzoru (9).

4.

Do obliczenia naprężeń normalnych w wieńcu jako pręcie silnie zakrzywionym posłużę znany wzór II-go przybliżenia (ob. np. Podręcznik Inżynierski, str. 1151)

$$\sigma = \frac{N}{F} + M \cdot \left(\frac{1}{R_o \cdot F} + \frac{1}{J} \cdot \frac{R_o \cdot \eta}{R_o + \eta} \right)$$

w którym η oznacza odległość włókna od osi środka ciężkości liczoną nazewną dodatnio, jeżeli dodatnie M zwiększa krzywiznę pręta. Po prostym przekształceniu napiszemy ten wzór w postaci:

$$10) \quad \sigma = \frac{1}{F} \left[N + M \left(\frac{1}{R_o} + \frac{1}{i^2} \cdot \frac{R_o \cdot \eta}{R_o + \eta} \right) \right]$$

Wstawiając tutaj znalezione poprzednio wyrażenia dla M i N z uwzględnieniem powyższej umowy co do znaku algebraicznego, odmiennej od przyjętej na rys. 2, otrzymamy:

$$11) \quad \frac{\sigma}{\sigma_0} = \frac{1}{1-\phi} + \frac{\phi}{1-\phi} + \frac{\eta}{R_0 + \eta} - \frac{1}{2} \cdot \Phi(\alpha, \phi) \cdot \left[\left(1 + \frac{R_0^2}{i^2} \cdot \frac{\eta}{R_0 + \eta} \right) \cdot \left(\frac{1+\phi}{\alpha} - \frac{\cos \varphi}{\sin \alpha} \right) + \frac{\cos \varphi}{\sin \alpha} \right]$$

przy oznaczeniach skracających:

$$\sigma_0 = \frac{\gamma}{g} \cdot (R_0 \cdot \omega)^2, \quad \phi = \frac{i^2}{R_0^2 + i^2}$$

$$\Phi(\alpha, \phi) = \phi \cdot \frac{1 - \frac{l^2 (2l + 3r_z)}{6 \cdot R_0^2 \cdot (1-\phi)}}{(1+3\phi) \cdot f(\alpha) - \frac{1}{2\alpha} (1+\phi)^2 + \frac{F}{F_1} \cdot \frac{l}{R_0} \cdot \phi}$$

Z powodów wyłuszczonych w ustępie 2 uzyskamy większą dokładność obliczenia naprężeń w rozpatrywanym przypadku, zastępując pierwszy wyraz po stronie prawej równania (11), t. j.:

$$\frac{1}{1-\phi} \text{ przez } \frac{1+\lambda_w}{1-\phi} \text{ dla włókna}$$

skrajnego wewnętrznego, czyli dla $\eta = R_w - R_0$, zaś przez $\frac{1-\lambda_z}{1-\phi}$ dla włókna skrajnego zewnętrznego, czyli dla $\eta = R_z - R_0$. Wartości liczb λ_w i λ_z dają się wyznaczyć dokładnie w przypadku przekroju prostokątnego. W naszym przypadku są te wartości nieco inne i można je znaleźć tylko w przybliżeniu, zupełnie jednak wystarczającym. Wykonany w tym celu rachunek, którego szczegóły pomijam, ażeby nie przedłużać artykułu, dał:

$$\lambda_w = 0,17, \quad \lambda_z = 0,19.$$

Podstawiając teraz w równanie (11) raz: $\eta = e_z$, $R_0 + \eta = R_z$; drugi raz: $\eta = -e_w$, $R_0 + \eta = R_w$, otrzymamy ogólne wzory dla naprężeń we włókienach skrajnych wieńca, zewnętrznych σ_z i wewnętrznych σ_w , a mianowicie:

$$12) \quad \left\{ \begin{aligned} \frac{\sigma_z}{\sigma_0} &= \frac{1-\lambda_z}{1-\phi} + \frac{\phi}{1-\phi} + \frac{e_z}{R_z} - \frac{1}{2} \cdot \Phi(\alpha, \phi) \cdot \left[\left(1 + \frac{R_0^2}{i^2} \cdot \frac{e_z}{R_z} \right) \cdot \left(\frac{1+\phi}{\alpha} - \frac{\cos \varphi}{\sin \alpha} \right) + \frac{\cos \varphi}{\sin \alpha} \right] \\ \frac{\sigma_w}{\sigma_0} &= \frac{1+\lambda_w}{1-\phi} + \frac{\phi}{1-\phi} - \frac{e_w}{R_w} - \frac{1}{2} \cdot \Phi(\alpha, \phi) \cdot \left[\left(1 - \frac{R_0^2}{i^2} \cdot \frac{e_w}{R_w} \right) \cdot \left(\frac{1+\phi}{\alpha} - \frac{\cos \varphi}{\sin \alpha} \right) + \frac{\cos \varphi}{\sin \alpha} \right] \end{aligned} \right.$$

przy tych samych oznaczeniach skracających co w równaniu (11). Wzory te jakkolwiek dość długie są przecież znacznie wygodniejsze w zastosowaniu praktycznym od metody obliczenia której,

używa prof. M. Tolle w dziele: „Regelung der Kraftmaschinen“ (wyd. 3-cie, Berlin, 1921). Metoda ta wychodzi z t. zw. dokładnych równań zginania prętów silnie zakrzywionych, prowadzących do hiperbolicznego rozkładu naprężeń. Atoli — biorąc ściśle — jest to tylko III-cie przybliżenie, różniące się w naszym przypadku tylko nader nieznacznie od przybliżenia II-go. Nadto dokładność III-go przybliżenia staje się zupełnie iluzoryczną, skoro się zaniedba, jak to czyni Tolle, i inni autorowie, nierównomierności rozkładu siły podłużnej, co odpowiada przyjęciu:

$$\lambda_z = \lambda_w = 0$$

Oba sposoby obliczenia nie uwzględniają co prawda zmniejszenia swobodnej długości części wieńca wskutek stosunkowo znacznej szerokości ramion, a także nie liczą się ze zwiększeniem naprężeń w miejscach połączenia ramion z wieńcem. Ale pierwszy wpływ jako korzystny pokrywa niewątpliwie lwią część drugiego niekorzystnego i dotychczas teoretycznie nieopanowanego. Wpływ drugi próbują niektórzy inżynierowie ocenić w ten sposób, że wyznaczają, np. na rysunku, dość dowolnie środki przekrojów normalnych do konturu wewnętrznego, a miejsce tych środków uważają za oś pręta (o silnie zmiennym przekroju!) zakrzywionego bardziej od wieńca, poczem stosują znane wzory dla hiperbolicznego rozkładu naprężeń. Otóż rachunek taki jest teoretycznie niedopuszczalną ekstrapolacją i ma wartość zgoła problematyczną, jak dowodzą prace doświadczalne nad rozmieszczeniem naprężeń w przypadkach tego rodzaju (np. Dra Wyss'a z Gdańska).

Także i inne usiłowania dążące do zwiększenia dokładności w obliczeniu naprężeń nie byłyby w naszym przypadku na miejscu, albowiem błędy powyższego obliczenia w II-gim przybliżeniu mogą być tylko drobne wobec nieuchwytnych wartości naprężeń odlewniczych, a także wobec zaburzeń w stanie napięcia wywołanych konstrukcją połączeń obu połówek koła.

Kładąc we wzorach (12) $\varphi = 0$ i $\varphi = \alpha$ otrzymamy dla naszego przypadku ($\alpha = \text{arc } 30^\circ$) następujące wyrażenia dla naprężeń włókien skrajnych w dwóch charakterystycznych przekrojach wieńca.

1) w przekroju środkowym między ramionami

$$\frac{\sigma_z}{\sigma_0} = \frac{1-\lambda_z}{1-\phi} + \frac{\phi}{1-\phi} + \frac{e_z}{R_z} - \Phi(\alpha, \phi) \cdot \left[\left(1 + \frac{R_0^2}{i^2} \cdot \frac{e_z}{R_z} \right) \cdot (0,95493 \cdot \phi - 0,04507) + 1 \right]$$

$$(13) \quad \frac{\sigma_w}{\sigma_0} = \frac{1+\lambda_w}{1-\phi} - \frac{\phi}{1-\phi} - \frac{e_w}{R_w} - \Phi(\alpha, \phi) \cdot \left[\left(1 - \frac{R_0^2}{i^2} \cdot \frac{e_w}{R_w} \right) \cdot (0,95493 \cdot \phi - 0,04507) + 1 \right]$$

II) W przekroju przylegającym do ramienia:

$$\frac{\sigma_z}{\sigma_0} = \frac{1 - \lambda_z + \psi}{1 - \psi} + \frac{e_z}{R_z} - \Phi(\alpha, \psi) \cdot \left[\left(1 + \frac{R_0^2}{i^2} \cdot \frac{e_z}{R_z} \right) \cdot (0,955 \cdot \psi + 0,0889) + 0,866 \right]$$

$$14) \frac{\sigma_w}{\sigma_0} = \frac{1 + \lambda_w + \psi}{1 - \psi} - \frac{e_w}{R_w} - \Phi(\alpha_1, \psi) \cdot \left[\left(1 - \frac{R_0^2}{i^2} \cdot \frac{e_w}{R_w} \right) \cdot (0,955 \cdot \psi + 0,0889) + 0,866 \right]$$

Do rachunku liczbowego posłużyły wartości następujące:

$$\begin{aligned} R_z &= 1550, R_o = 1378, R_w = 1165 \text{ mm}; \text{ pole} \\ &\text{przekroju wieńca } F = 1400 \text{ cm}^2 \\ J &= 166440 \text{ cm}^4, i^2 = 11890 \text{ mm}^2; \\ \psi &= 0,006225; e_z = 172, e_w = 213 \text{ mm} \\ l &= 740 \text{ mm}, F_1 = 397,5 \text{ cm}^2. \end{aligned}$$

Na podstawie tych danych znajdujemy z wzorów (13) i (14) wartości w przekroju środkowym:

$$\sigma_z = 0,886 \cdot \sigma_0, \sigma_w = 0,674 \cdot \sigma_0$$

zaś w przekroju niebezpiecznym (tuż przy ramionach):

$$\sigma_z = 0,524 \cdot \sigma_0, \sigma_w = 1,271 \cdot \sigma_0$$

Ponieważ $\sigma_0 = 0,1403 \cdot \omega^2$ (w kg/cm^2), przeto naprężenie niebezpieczne we włóknie wewnętrznym wieńca przy ramieniu ma wartość:

$$\sigma_{nieb.} = 0,1783 \cdot \omega^2$$

Wartość tę wypada jeszcze podwyższyć dla przekrojów po obu stronach złącza wieńcowego, ponieważ te przekroje są osłabione otworami na kliny. Tutaj musimy poprzestać oczywiście na ocenie przybliżonej przyjmując, że siła podłużna, która w pełnym przekroju przenosiła się na pole 1400 cm^2 , rozkłada się teraz na 1133 cm^2 . Odpowiednie naprężenie zwiększy się przez to w stosunku $1400 : 1133 = 1,235$, czyli o 23,5%. Pomijając drobne zmiany naprężeń zginających wobec tego, że osłabienie przekroju leży w środku, gdzie te naprężenia są bardzo małe, znajdziemy przeto dla naprężenia skrajnego σ_w zamiast $1,271 \sigma_0$ wartości:

$$\sigma_w = (1,271 + 0,235) \cdot \sigma_0 = 1,506 \cdot \sigma_0 \text{ czyli } \sigma_{nieb.} = 0,2113 \omega^2 \text{ (w } \text{kg/cm}^2\text{)}$$

Przyjawszy $900 \text{ kg/cm}^2 = 9 \text{ kg/mm}^2$ jako zaokrągloną wartość wytrzymałości materiału na rozciąganie według dat z badań w kilku pracowniach, otrzymujemy dla krytycznej prędkości kątowej koła wartość:

$$\omega = \sqrt{\frac{900}{0,2113}} = 65,3 \text{ sek}^{-1},$$

czyli znowu około trzykrotną wartość normalną.

Nasuwa się teraz pytanie, czy znalezione powyżej miejsce niebezpieczne w wieńcu jest istotnie najsłabszym miejscem koła, czy też należy tego miejsca szukać w piaście osłabionej ostreimi wcięciami na kliny, lub w złączach obu części koła, albo wreszcie w ramionach. Wszak po katastrofie znaleziono pęknięcie nawskroś we wszystkich wymienionych częściach. Otóż niemal napewno stwierdzić można, że najpierw pękło tylko jedno z miejsc najsłabszych, poczem w ułamku sekundy siły bezwładności dokonały dzieła zniszczenia do reszty. Jakkolwiek więc upatrywałem odrazu miejsce niebezpieczne w przyramiennym, osłabionym otworem, przekroju wieńca, to jednak wykonałem obliczenie naprężeń dla innych wymienionych części, oczywiście przy analogicznych założeniach, t. j. bez uwzględnienia wpływu podziału piasty i wieńca na dwie połowy, co prowadziłoby do beznadziejnie długich, a przytem niepewnych rachunków. Okazało się przytem, że krańcowe naprężenia w ramionach są około dwóch razy, a w piaście prawie trzy razy mniejsze od naprężeń krańcowych w wieńcu. Chociaż tedy wycięcia na kliny osłabiły niewątpliwie piastę, zwłaszcza wskutek miejscowej znacznej podwyżki naprężeń, (działanie „karbu“) to jednak wyniki wszystkich moich dotychczasowych obliczeń każą wątpić w słuszność „przypuszczenia, że wypadek wziął początek od pęknięcia piasty“, jak to czytamy we wspomnianym referacie inż. R. Biedrzyckiego. (Podobne zapatrywanie słyszałem także z ust prof. W. Chrzastowskiego; wynika ono również z wywodów opartych na obliczeniach zurychskiego profesora *ten Bosch'a*).

Nie przeczę oczywiście kategorycznie możliwości tego wypadku, jednakże twierdzę, że jest on mało prawdopodobny. Jeżeliby zaś istotnie tak się rzecz miała, czego sprawdzić niepodobna, to do przedwczesnego pęknięcia piasty mogła doprowadzić tylko miejscowa wada materiału w połączeniu z naprężeniami odlewniczymi i montażowymi. Przy materiale dostatecznie jednolitym pod względem wytrzymałościowym pierwsze pęknięcie powstać mogłoby jedynie w wymienionym powyżej przekroju wieńca. Takie pęknięcie wyzwała natychmiast ogromne momenty zginające w wieńcu, ramionach i piaście, co prowadzi do pęknięć we wszystkich prawie częściach, jak to w samej rzeczy zaszło podczas katastrofy. Działanie zaś niezrównoważonych sił odśrodkowych na wał trwało zbyt krótko, ażeby mogło powodować jego odkształcenie trwałe o wielkości dostrzegalnej.

Pozostaje jeszcze wyjaśnić dlaczego w moich obliczeniach doszedłem do wyniku niezgodnego z wnioskiem otrzymanym przez prof. *ten Bosch'a*, że piasta była słabsza od wieńca. Otóż prof. *ten Bosch* przyjmuje w rachunku wytrzymałościowym, że cała siła odśrodkowa połówki koła przenosi się na piastę, tak, jakby połówki wieńca nie były wcale połączone nawzajem.

Tak się istotnie liczy przy projektowaniu koła z powodu statycznej niewyznaczalności czterech przynajmniej reakcyj pomiędzy obiema połówkami koła. Atoli w rzeczywistości mogą zachodzić między reakcjami piasty a reakcjami wieńca różnice tylko nieznaczne (kilka lub kilkanaście %, a nie 100%).

Jest zrozumiałem, że ostrożność konstruktora nakazuje mu osobliwie wzmacniać miejsca tego rodzaju, ale w tym przypadku obliczenie ekspertyzy nie powinno naśladować obliczeń

konstruktorskich. Ekspertyza dąży bowiem do zbadania istotnej przyczyny katastrofy i dlatego musi unikać założeń grzeszących dowolnością lub odbiegających tak dalece od prawdy. Daleko więcej zbliżonem do niej byłoby przyjęcie, że połowa całkowitej siły odśrodkowej przenosi się na wieniec, a druga połowa na piastę. Rachując w ten sposób otrzymujemy oczywiście dwa razy mniejsze naprężenia w piastce i musimy dojść do wniosku, że w wieńcu należy szukać najsłabszego miejsca koła.

EKSPLOZJA KOŁA ZAMACHOWEGO.

(Przyczynek do dyskusji. por. *Technika Ciepłna*, 1928, str. 17 i 18).

I.

Dla dyskusji nad pow. wypadkiem przygotowałem ze swej strony dużo materiału cyfrowego, jednakże wskutek późnej pory nie mogłem absorbować uwagi słuchaczy i musiałem zrezygnować z przytoczenia odnośnych uwag. Po dokładnem zaznajomieniu się z protokołem obrad chciałbym do słów wypowiedzianych przezemnie w czasie dyskusji dorzucić kilka uwag.

1. Dzielenie koła.

Wiadomo ogólnie, że dzielenie koła przez ramiona jest teoretycznie słuszniejsze, niż między ramionami, a wskazują na to ogólnie znane, znakomite powagi naukowe. *Tolle* n. p. pisze w swojej książce „Regelung der Kraftmaschinen“ w wydaniu III na stronie 273: „Die Teilebene legt man heute noch meist in die Mitte zwischen zwei Armen, obwohl diese Teilung nur bei sorgfältigster Verbindung des Kranzes an den Teilungsstellen zulässig ist und theoretisch als ungeeignet bezeichnet werden muss“. Niemniej jednak w tem samem dziele *Tolle* podaje wzorowe rysunki różnych kół zamachowych, dzielonych między ramionami. (Strona 275, 276, 278, 279, 280 i 281). Jak wiadomo, dużo względów przemawia za dzieleniem koła między ramionami, jak np. wzgląd na uniknięcie natężeń odlewniczych przy stygnięciu odlewu oraz łatwiejszą obróbkę materiału, tak że po dziś dzień spotyka się więcej kół zamachowych dzielonych między ramionami niż przez ramiona.

2. Kliny piasty.

Do wywodów p. inż. *Töpfer'a*, który uważa założenie klinów stycznych przy kole zamachowem za zupełnie zbyteczne z powodu braku sił na obwodzie tegoż koła, któreby były przenoszone przez linę lub pas napędowy, chciałbym nadmienić co następuje:

Każdy kto ma do czynienia z silnikami spalinowemi wie że przy rozruchu maszyny, jak i przy jej zatrzymaniu powstają poważne siły przyspieszające względnie opóźniające, które przez kliny piastowe przenoszone zostają na wał korbowy. W stosunku do tych sił, siły zachodzące w pasie lub linie transmisyjnej są minimalne, tak że dla konstrukcji klinów piastowych miarodajne są jedynie wymienione siły przyspieszające lub opóźniające w wieńcu koła. Dla udowodnienia tego weźmy pod uwagę jako przykład koło zamachowe w K. Przy pomiarach dokonanych na stanowisku próbnem stwierdziliśmy, że silnik w ciągu 3 sekund i mniej przechodzi z bezruchu na normalną ilość obrotów.

Przyjmując, że przyrost szybkości koła zamachowego przy puszczeniu silnika w ruch ze stanu bezruchu do pełnej ilości obrotów jest proporcjonalny do czasu przyjęcia przez maszynę normalnego rozpędu, co i *Tolle* przyjmuje w swodem dziele, na str. 483, szybkość punktu ciężkości przekroju wieńca przy normalnej ilości obrotów na minutę wyniesie.

$$V = \frac{\pi \cdot 2,75 \cdot 214}{60} = \text{około } 30,6 \text{ m/sek.}$$

a przyspieszenie równać się będzie

$$W = \frac{30,6}{3} = 10,2 \text{ m/sek.}^2$$

Wieniec koła z przynależnymi częściami waży około 10000 kg. Wobec tego siła przyspieszająca wzgl. opóźniająca przy rozruchu wzgl. zatrzymaniu silnika wynosić będzie — przyjmując, że czas rozruchu maszyny wynosi 3 sekundy:

$$P = \frac{11000}{9,81} \cdot 10,2 = \text{ok. } 10350 \text{ kg,}$$

Siła obwodowa natomiast przy przenoszeniu

całkowitej mocy 800 KM przez linę lub pas wynosić będzie:

$$P_u = \frac{75 N}{V_u} = \frac{75 \cdot 800 \cdot 60}{\pi \cdot 3,1 \cdot 214} = 1720 \text{ kg,}$$

co stanowi jedynie ok. 16%, siły przyśpieszającej. Tem samym siła przyśpieszająca będzie miała dla konstrukcji klinów piasty zasadnicze znaczenie. Z tego też względu stosuje się przy ciężkich kołach zamachowych kliny styczne, jak na to wskazuje „Hütte“, tom 2, strona 5, wydanie 25.

Do uwagi, zgłoszonej ze strony trzeciej, jakoby kliny przy kole były zupełnie błędnie założone, a że należy je umieścić niesymetrycznie pod kątem 120°, lub 150°, chciałbym nadmienić co następuje:

Przy nieszczelności zaworu rozruchowego zdarza się często przy rozruchu lub zatrzymaniu maszyny, że koło zamachowe wykonywuje ruch wahadłowy, przyczem siły bezwładności w wienńcu koła zmieniają się z plus na minus. Gdyby koło zamachowe obracało się jedynie w jednym kierunku, natenczas możnaby się zgodzić z tego rodzaju założeniem klinów piastowych. Ponieważ jednak ruch koła odbywa się również w kierunku przeciwnym, przeto niesymetryczne założenie klinów jest błędne i koło zamachowe mogłoby rozerwać się w piaście. To też przy normalnej ilości obrotów wskazane będzie urządzenie wpustek klinowych symetrycznie do styku. Jeśli jednakże obroty maszyny wzrosną do kilkakrotnej wartości normalnej ilości obrotów, natenczas naturalnie nie pomoże nawet najdoskonalsze założenie klinów i koło będzie z konieczności musiało się rozerwać.

3. Materiał koła zamachowego.

Co do znalezionych w niektórych miejscach koła baniek, muszę nadmienić, że jest to zwykłym zjawiskiem przy tego rodzaju wielkich

odlewach. Chociaż i banika w wienńcu koła była stosunkowo wielka, to jednak przez otwory dla połączenia łubkowego, posiadające średnice 206 mm, wieniec był jeszcze więcej osłabiony, tak że niebezpieczny przekrój wienca znajduje się nie w miejscach baniek, lecz przy połączeniu łubkowym.

4. Regulator bezpieczeństwa.

Jest rzeczą naturalną, że każdy środek, zmierzający do podniesienia bezpieczeństwa ruchu jest pożądany przy silnikach. Z drugiej strony jednakże należy mieć na względzie, że silnik Diesla jest sam w sobie jedną z najwięcej skomplikowanych maszyn, a założenie drugiego regulatora skomplikowałoby jego konstrukcję jeszcze więcej. Praktyka zaś wykazała, że silniki Diesla pracują dobrze i z całkowitą pewnością i bez tego dodatkowego regulatora. Eksplozje tego rodzaju są bardzo rzadkie, czyli poprostu stało się nieszczęście, które we wszelkich warunkach zdarzyć się może. Koło było zaprojektowane dla 214 obrotów na minutę, a eksplozja nastąpiła w granicach między 540 a 690 obrotami. Takiej nadwyżki nie wytrzyma żadne normalnie skonstruowane koło.

L. Selikowski, inż., Gdańsk.

II

Pized kilku laty miałem sposobność bliższego zbadania podobnego wypadku z kołem zamachowym o zbliżonej konstrukcji.

Sposób połączenia obu połówek wienca uważam za główną przyczynę eksplozji. Koło zamachowe powinno być dzielone przez ramiona.

Przy dzieleniu wienca pomiędzy ramionami powstają w styku siły zginające i ścinające, (Klemmwirkung) które decydują o mocy połączenia klinowego. O siłach tych wspomina Bach w pracy: Elemente des Maschinenbaues. Praktyka niemiecka przestrzega przeto podziału kół zamachowych przez ramiona.

(—) W. Seeberger, inż., Berlin-Frohnau.

UROCZYSTOŚĆ WYKONANIA 10000-GO KOTŁA.

Tow. Akc. budowy kotłów Parowych i Maszyn W. Fitzner i K. Gamper w Sosnowcu obchodziło w dniu 28 kwietnia b.r. rzadką uroczystość zawodową wykończenia dziesięcioletniego kotła parowego. W uroczystości wzięli udział przybyli z różnych stron kraju zaproszeni goście oraz liczni pracownicy fabryczni.

Wkrótce będziemy mogli podać dokładniejszy rys rozwoju i programu pracy tych pierwszorzędných zakładów krajowych. Na razie ograniczamy się krótką wzmianką niniejszą łącząc się z licznymi uczestnikami obchodu i wyrażając nadzieję na dalszy rozwój i powodzenia na jakie ta zasłużona placówka pracy przemysłowej ze wszech miar zasługuje.



10000-ny kocioł S. A. W. Fitzner i K. Gamper.

Oznaczanie wartości opałowej paliwa

Laboratorium badania węgla przy Biurze Okręgowem

Stowarzyszenia Dozoru Kotłów w Warszawie,

w Dąbrowie Górniczej, przy ul. Sienkiewicza 7,

telefon 1-01

przeprowadza badania wartości opałowej paliwa po cenach następujących:

Oznaczenie wartości opałowej z podaniem zawartości wody i popiołu zł.	35.00
Oznaczenie wody lub popiołu	5.00
Oznaczenie koksu lub części lotnych	10.00
Oznaczenie zawartości siarki	15.00
Wykonanie analizy elementarnej	45.00

Przed wysłaniem próbki należy porozumieć się z pracownią.

BIURO TECHNICZNE

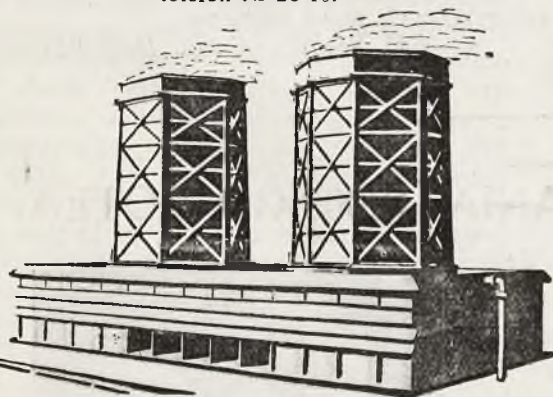
JULJUSZ OVERHOFF

Kraków, Garncarska 8.

Adres telegr.

Inżynierowiecki Kraków

telefon № 26-10.



BUDOWA CHŁODNIC OCIEKOWO KOMINOWYCH

do oziębiania wód pat. Overhoff-Thausing od najmniejszych do największych sprawności.

Dostawa maszyn chłodniczych „Abdamos” do wyzyskania par odlotowych przy silnikach.

ŁAZOWSKIE ZAKŁADY CERAMICZNE

SP. Z OGR. POR.

ŁAZY, STAR. ZAWIERCIAŃSKIE.

Cegła ręczna i maszynowa wszelkie roboty szamotowe. Cegła fasonowa, podług rysunków. Cegła szamotowa norm. 29-36 St. Seg. i zawartości do 45% Al_2O_3 . Płyty piekarskie i zaprawy szamotowe stale na składzie.

269-6

KUPIMY

Kocioł kornwalijski

pow. ogrzew. 50 m.², na ciśnienie 8 atm.;

Krochmalnia Zulin-Rejowiec Lubelski

266-2

Zeszyt niniejszy zawiera wkładki Firm:

1. W Fitzner i K. Gamper w Sosnowcu
2. H. Koetz, Nast., w Mikołowie.